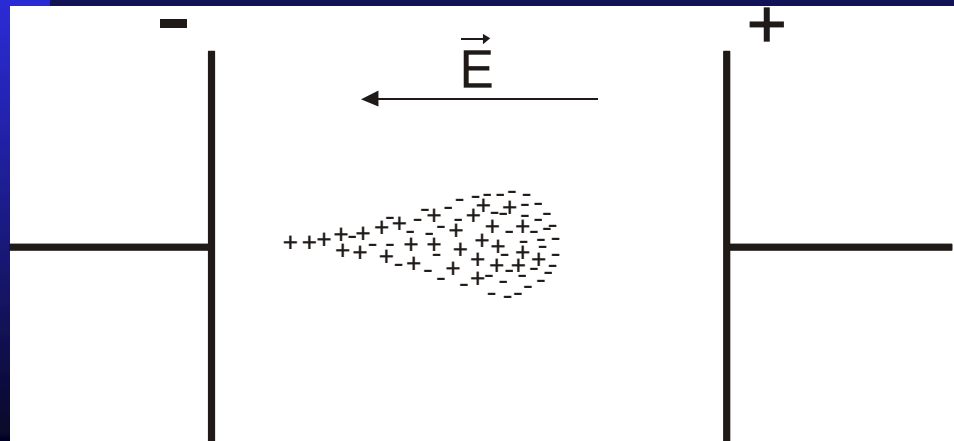


# Prvý Townsendov koeficient



prvá teória popisujúca pomery v plynnom el. výboji – Townsendova teória lavín

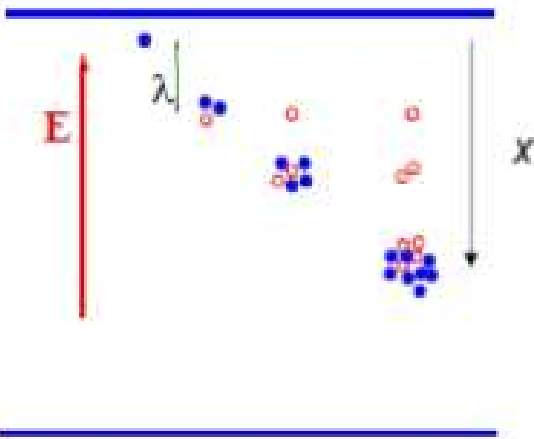
- nech e opúšťajú katódu v dôsledku fotoemisie

$n_0$  počet e, ktoré opúšťajú jednotku plochy katódy za 1 s

$j_0$  prúdová hustota na povrchu katódy

každý e pri svojom pohybe k anóde ionizuje neutrálnu časticu plynu, vznikne ďalší e, ktorý je tiež urýchľovaný el. poľom, tieto e tiež nárazom ionizujú, vznikne lavína

Prvý Townsendov koeficient  $\alpha$  je počet ionizačných zrážok, ktoré elektrón vykoná na jednotkovej dráhe (1 cm) pri pohybe v smere elektrického poľa.



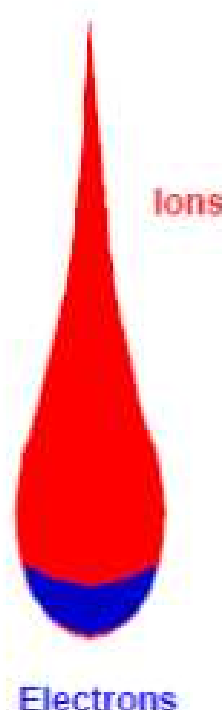
$$dn = n \alpha dx$$

$$n(x) = n_0 e^{\alpha x}$$

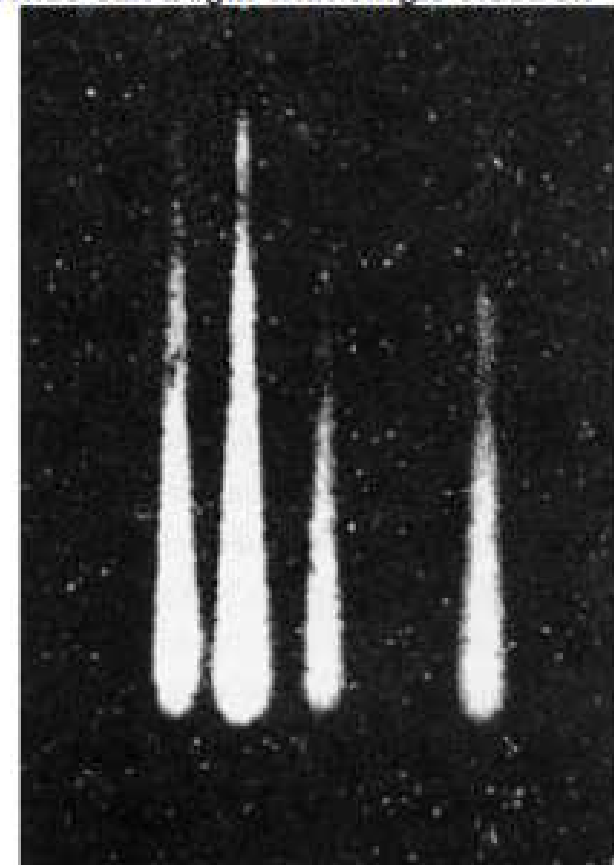
Spatial multiplication factor or Gain

$$M(x) = \frac{n}{n_0} = e^{\alpha x}$$

$\alpha$  = Townsend coefficient

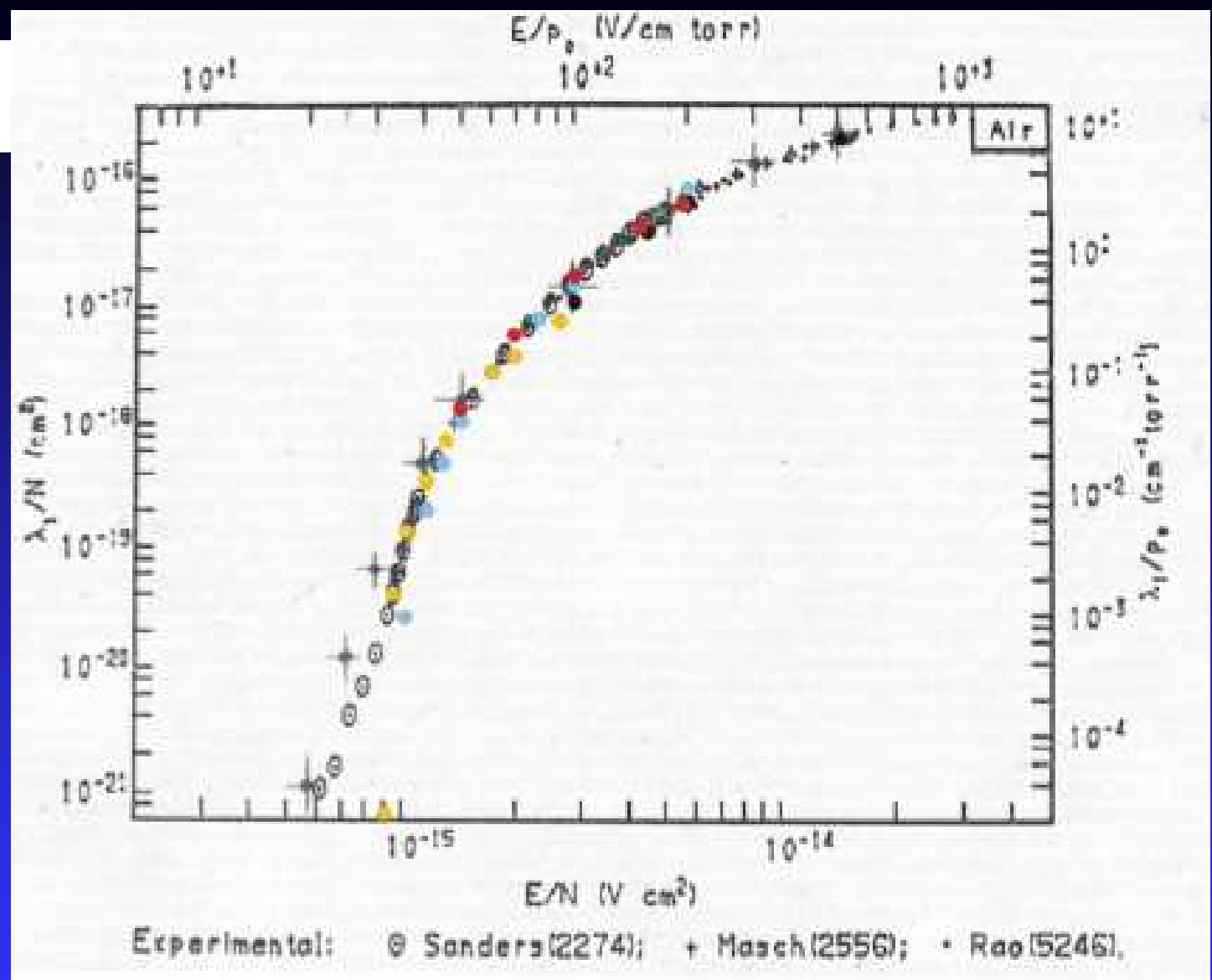


Combined cloud chamber-avalanche chamber  
Avalanches can begin with single electron



H. Raether  
*Electron avalanches and breakdown in gases*  
(Butterworth 1964)

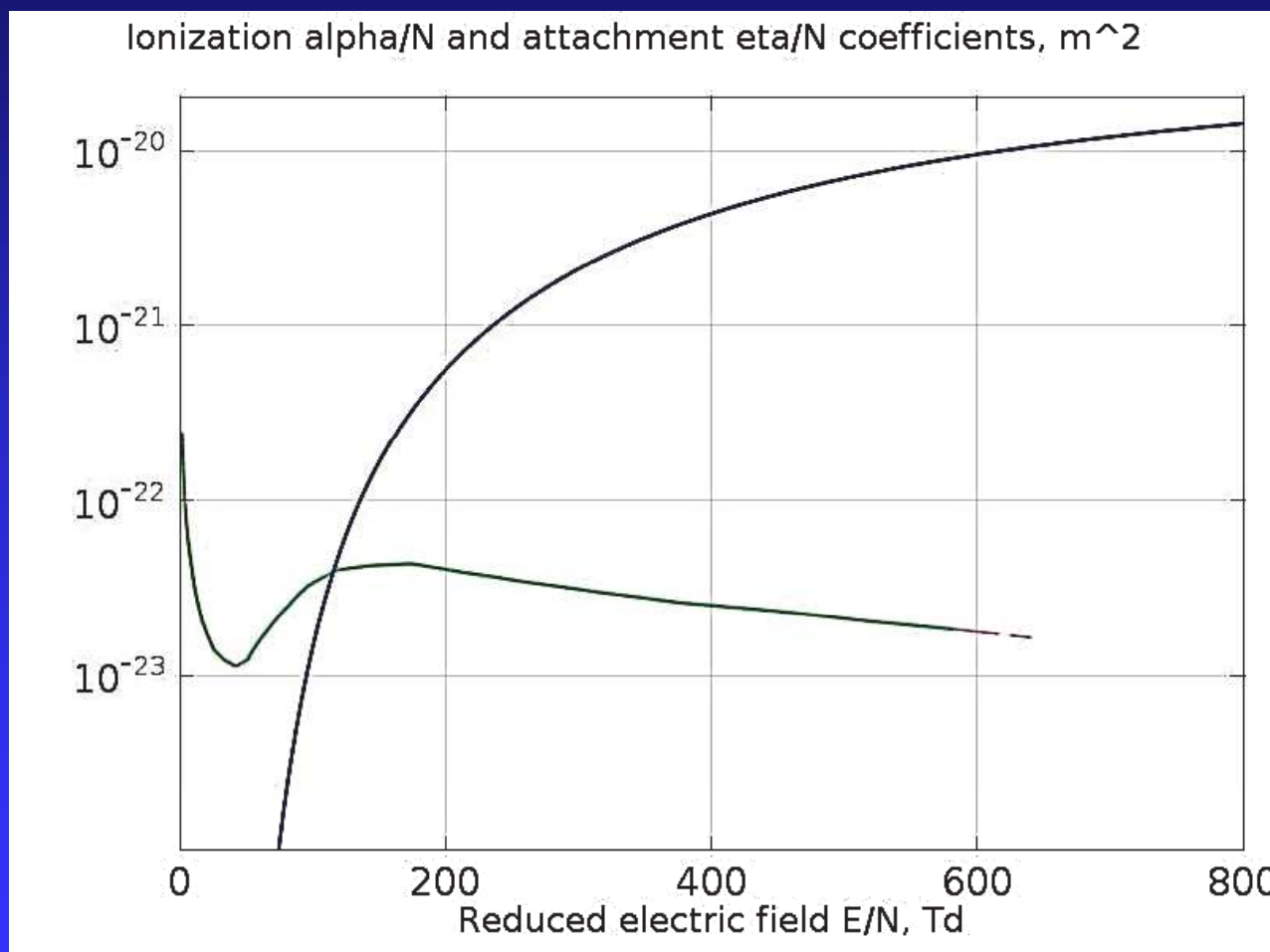
$$\alpha/p \approx Ae^{-Bp/E}$$



- Ako jednotka pre  $E/n$  sa vo fyzike el. výbojov používa i  
**1 Td (Townsend) =  $10^{-17} V \cdot cm^{-2}$**

# Koeficient záchytu elektrónov

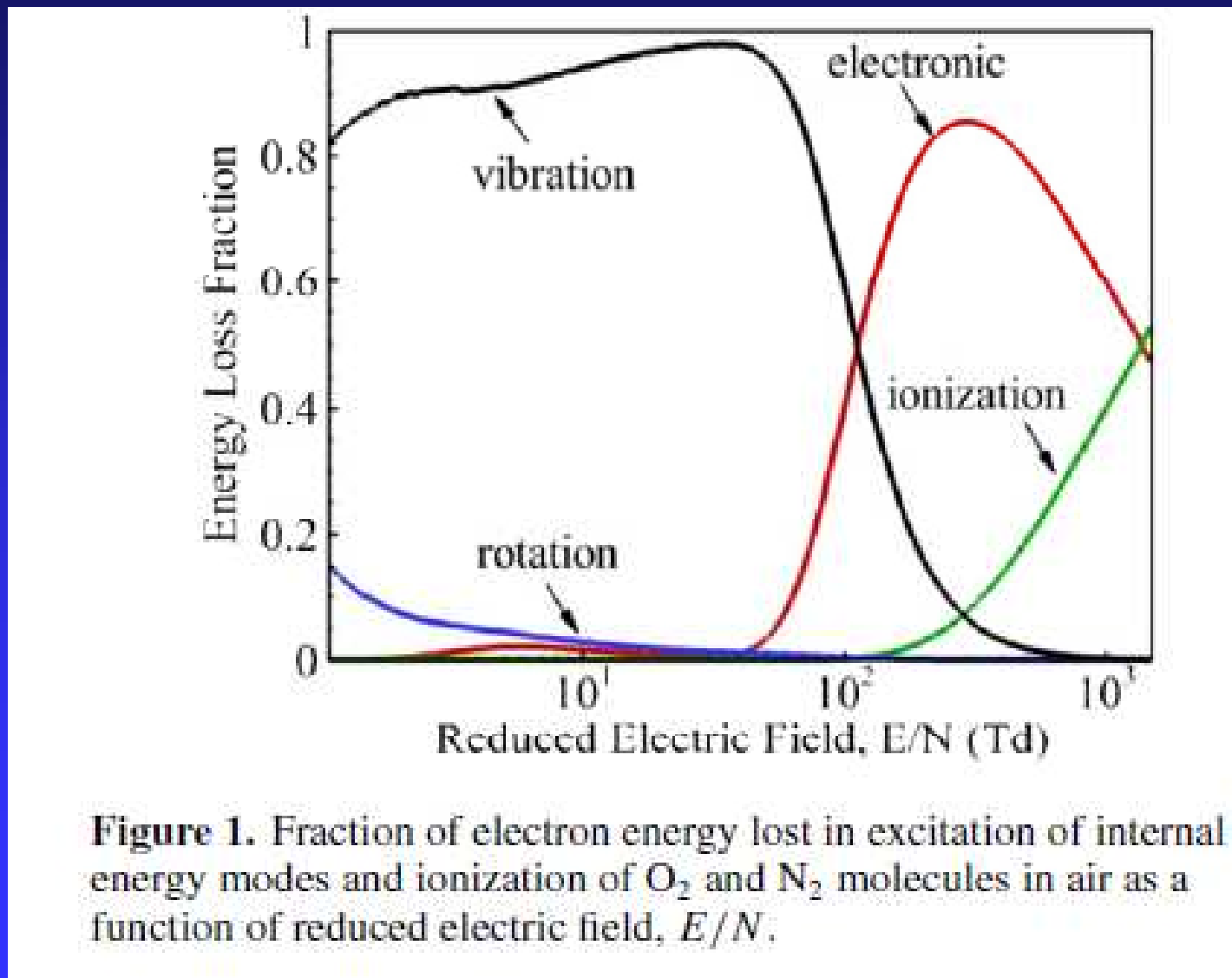
## Vzduch



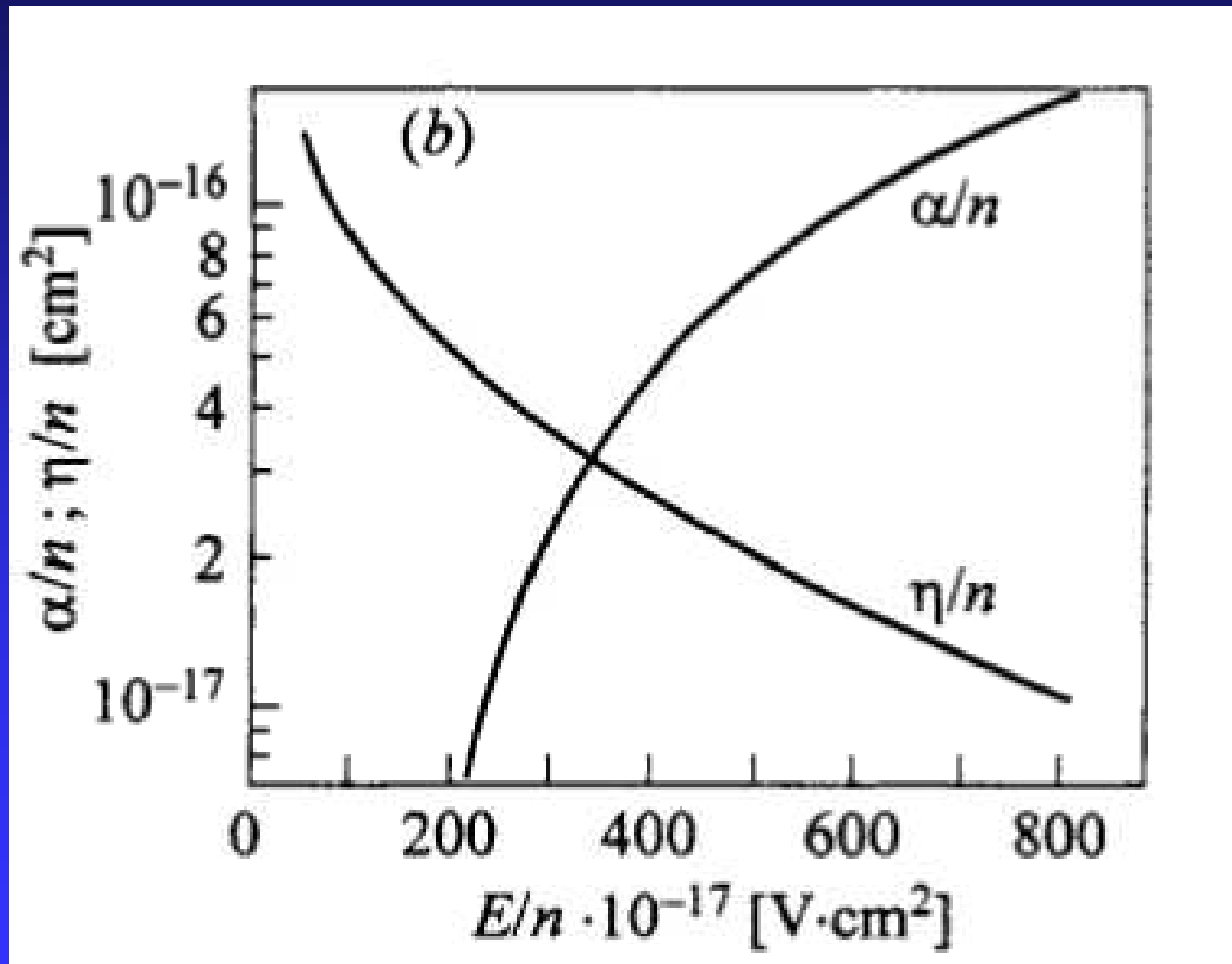
# Nepružné zrážky

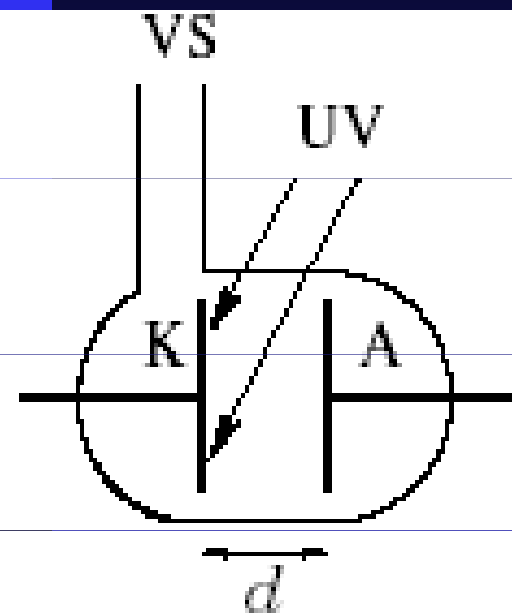
## Vzduch

- mimoriadne vysoký prierez (účinnosť) vibračnej excitácie

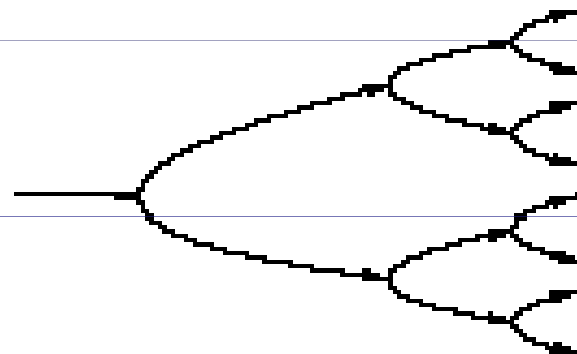


# Koeficient záchytu elektrónov SF6 („elegas“)

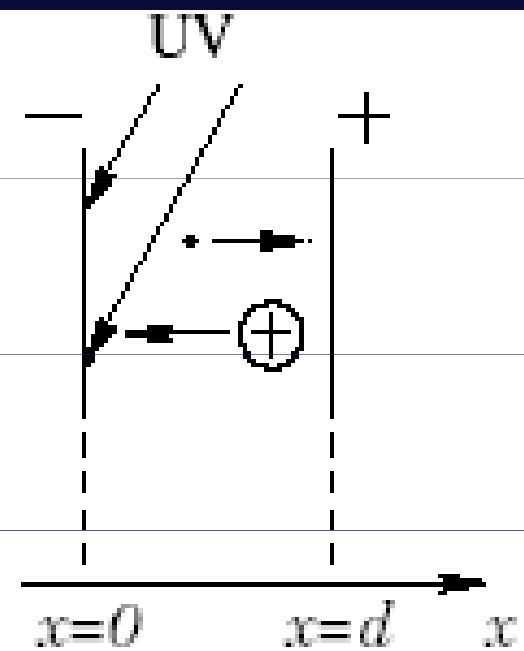




a)



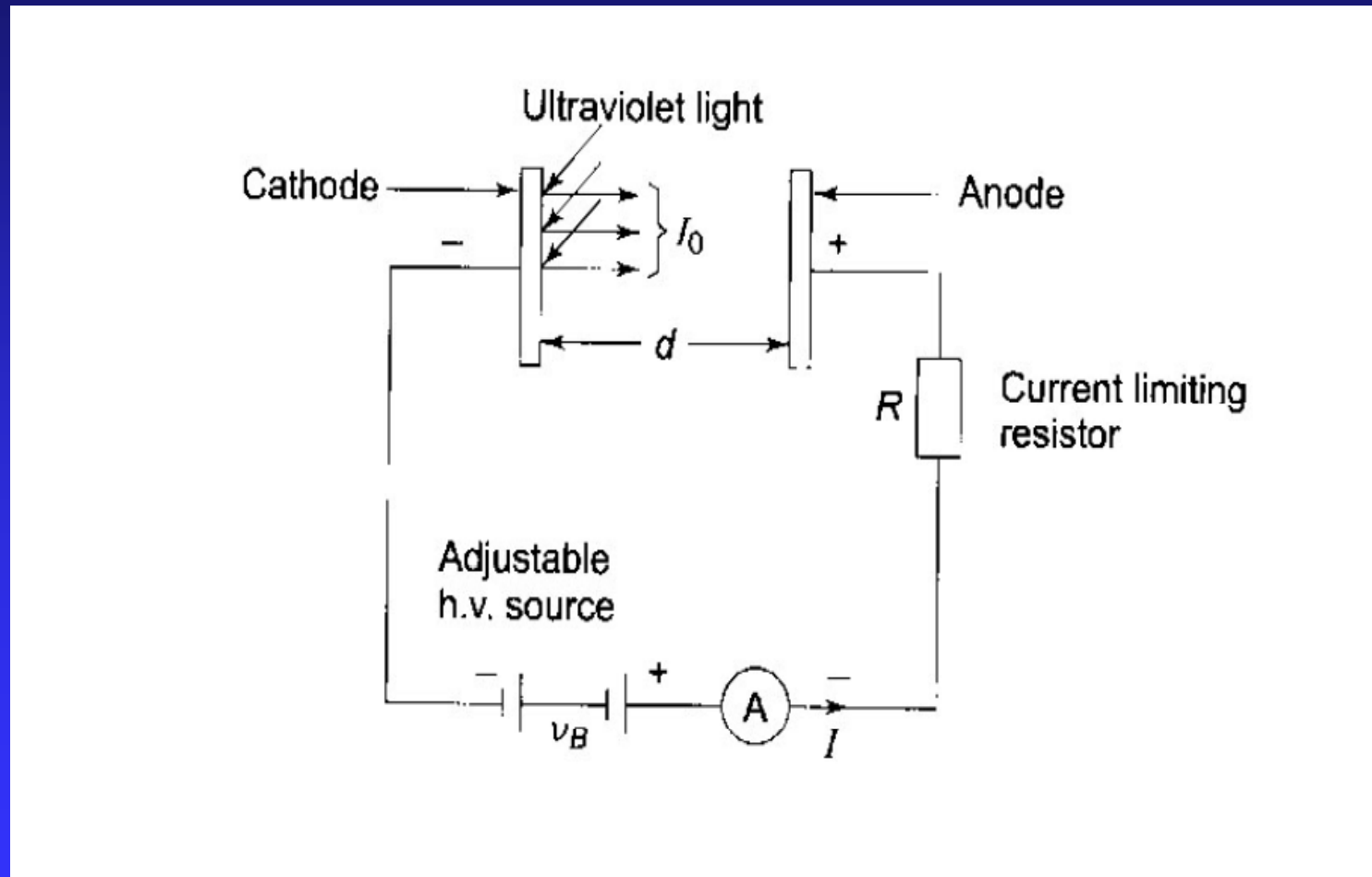
b)



c)

Obr. 5.2: Zapáľovanie výboja: a) výbojka na meranie zapáľovacieho napäťia: K - katóda, A - anóda, UV - ultrafialové žiarenie zabezpečujúce emisiu primárnych elektrónov, VS - napojenie na vákuový systém; b) elektrónová lavína; c) označenie polohy elektród

## Experimentálne usporiadanie pre štúdium Townsendovho výboja



na dráhe  $dx$  jeden e uskutoční  $\alpha dx$  ionizácií

prírastok  $dn$ , ktorý zapríčiní  $n$  elektrónov vo vrstve  $dx$  potom je

$$dn = n \alpha dx$$

riešenie:

$$\ln n = \alpha x + \text{konšt.}$$

protože pre  $x = 0$  je  $n = n_0$ , bude po odlogaritmovaní :

$$n = n_0 e^{\alpha x}$$

prúdová hustota je analogicky

$$j = j_0 e^{\alpha x}$$

Ak vzdialenosť medzi elektródami bude rovná  $d$ , potom celkový počet elektrónov, ktorý dopadne na anódu bude :

$$n_0 e^{\alpha d}$$

v tomto počte sú zahrnuté aj pôvodné  $e$  z katódy, teda počet elektrónov NOVOvzniknutých ionizáciou medzi K a A je

$$n_0 e^{\alpha d} - n_0$$

to je súčasne rovné počtu kladných iónov, ktoré vznikli vo výbojovom priestore (zanedbávame priestorovú ionizáciu nárazom kladných iónov, t.j. druhý Townsendov koeficient  $\beta = 0$ )

Tretí Townsendov koeficient  $\gamma$  – ak dopadne na katódu kladný ión, vyrazí z nej  $\gamma$  nových elektrónov, teda ak na katódu dopadne

$n_0(e^{\alpha d} - 1)$  kladných iónov, vyrazí z nej  $\gamma n_0(e^{\alpha d} - 1)$  nových elektrónov

Potom bude teda z katódy vystupovať viac elektrónov, nielen  $n_0$ , označme ich počet na katóde v ustálenom stave  $n_I$ , čo bude celkove

$$n_I = n_0 + \gamma n_I (e^{\alpha d} - 1) \text{ z čoho } n_I = n_0 / (1 - \gamma(e^{\alpha d} - 1))$$

$A$  na anódu dopadne  $n_a$  elektrónov :  $n_a = n_I e^{\alpha d}$

Potom:

kdeže driftová rýchlosť elektrónov  $v$  je všade rovnaká (homogénne el. pole), a na anóde je prúd elektrónov rovný celkovému ustálenému prúdu platí ( $q$  je elementárny náboj):  $v \cdot q \cdot n_a = v \cdot q \cdot n_I e^{\alpha d}$ , čiže  $j_a = j = j_I e^{\alpha d}$ , kde

$$j_I = j_0 / (1 - \gamma(e^{\alpha d} - 1))$$

Takže pri ustálemom stave prúdová hustota na anóde a všade bude

$$j = j_0 e^{\alpha d} / (1 - \gamma(e^{\alpha d} - 1))$$

teda prúd **nesamostatného lavínového výboja** pro konštanom priereze

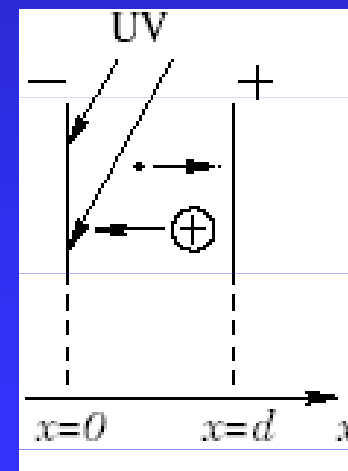
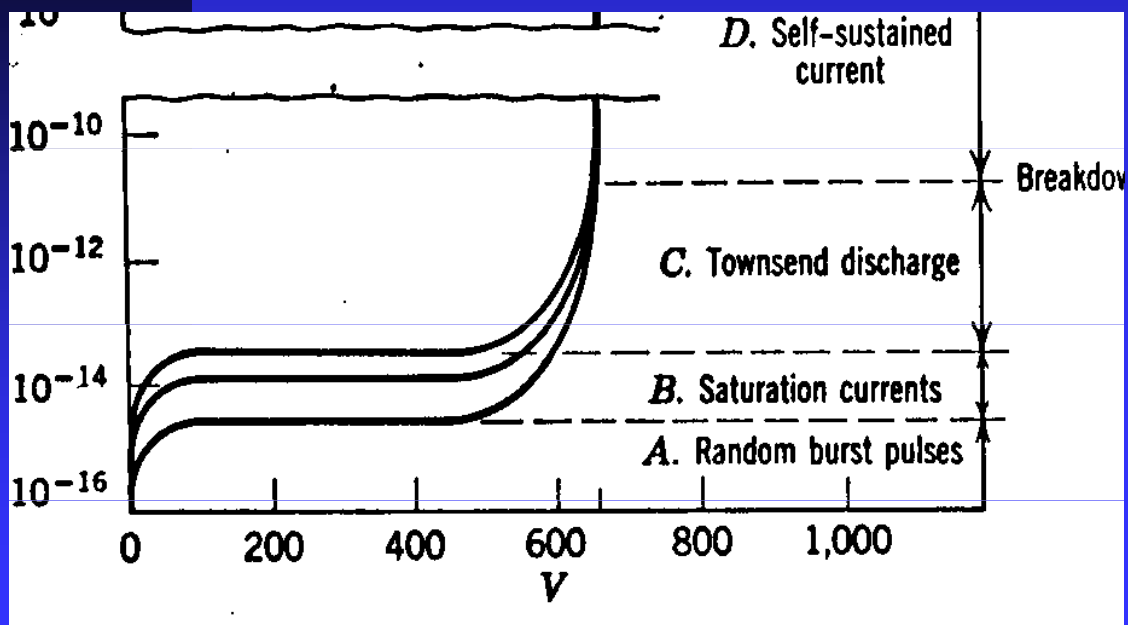
$$I = I_0 e^{\alpha d} / (1 - \gamma(e^{\alpha d} - 1))$$

# Podmienka samostatného výboja

pri samostatnom ustálenom výboji musí platiť že prúd výboja už nezávisí od  $I_0$  (netreba dodávať do výboja elektróny pomocou externého zdroja ), teda menovateľ rovnice  $I = I_0 e^{\alpha d} / (1 - \gamma(e^{\alpha d} - 1))$  musí byť blízky nule. Teda (fyzikálne nie čisto matematicky)

$\gamma(e^{\alpha x} - 1) \geq 1$  Townsendova podmienka pre udržanie lavínového samostatného výboja

V-A charakteristiky pre 3 rozne hodnoty  $I_0$  (*intenzity UV*):



# Sekundárna emisia elektrónov

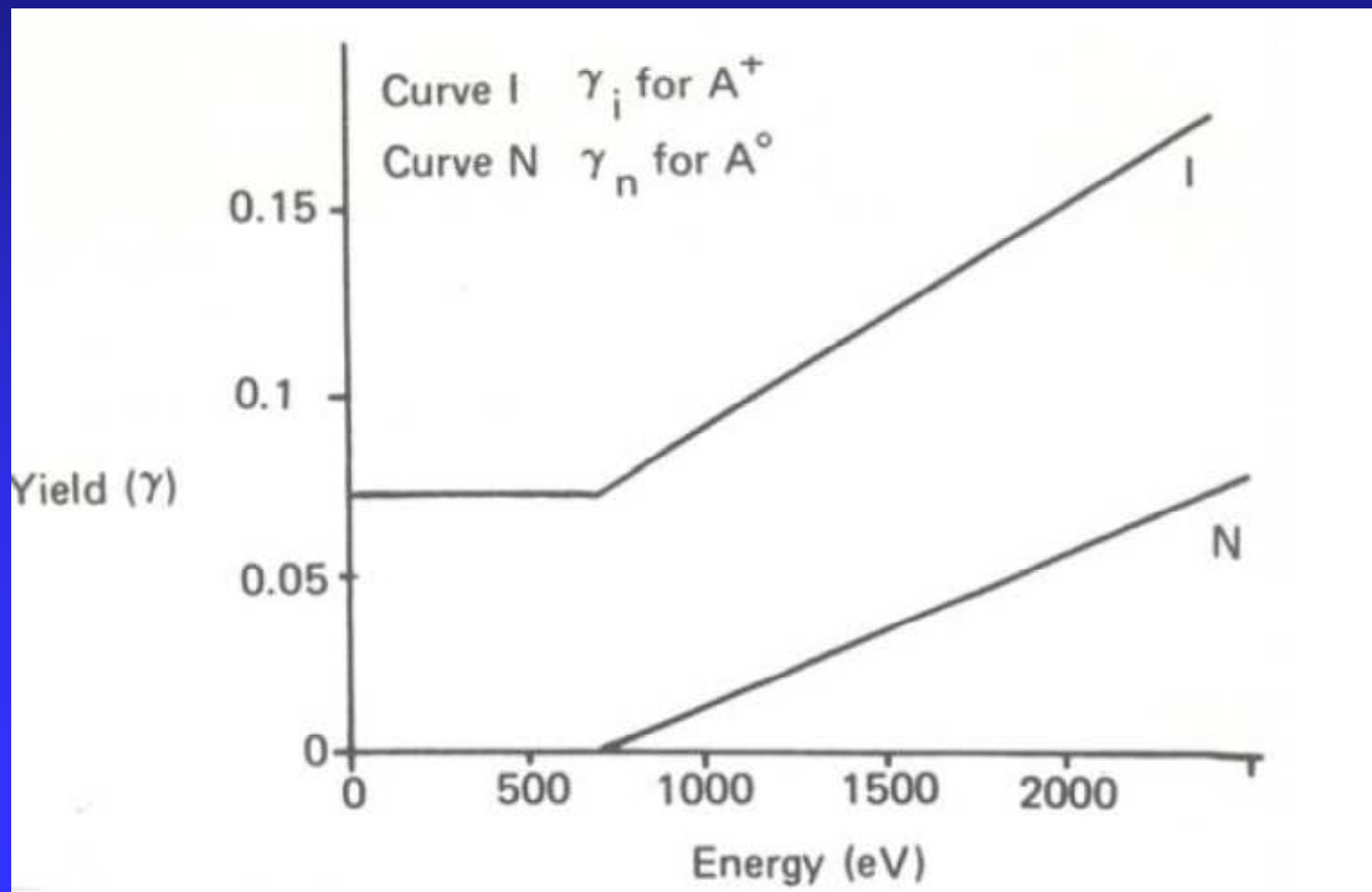
## Townsendov koef. sekundárnej emisie $\beta$

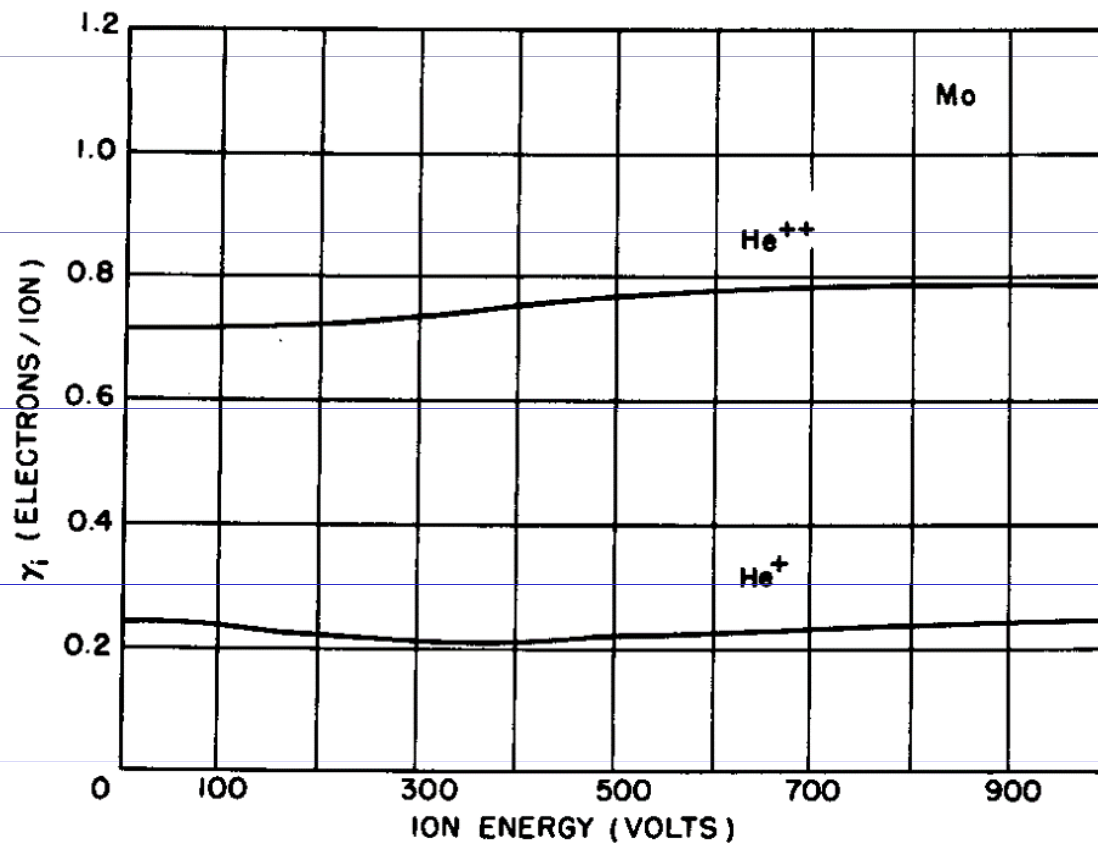
- Emisia elektrónov z katódy je kritická pre udržanie samostatného výboja
  - ◆ Dva rôzne mechanizmy:
    - ◆ Sekundárna emisia pri dopade jednej častice vytvorenjej vo výboji
      - Kladné ióny (energia ionizácie  $> 2E_w$ )
      - Fotóny
      - Neutrálne excitované čästice (metastability)
    - ◆ [redacted] emisia a to hlavne:
      - Termická emisia
      - Emisia silným el. pol'om, autoemisia, studená emisia (tumelový efekt)

# SE pri dopade kladných iónov

D. B. Medved, P. Mahadevan and J. K. Layton, *Phys. Rev.* **129**, 2086 (1963).

Figure 1.3: Secondary electron emission coefficient as a function of energy for argon ion and atom bombardment of molybdenum [66].



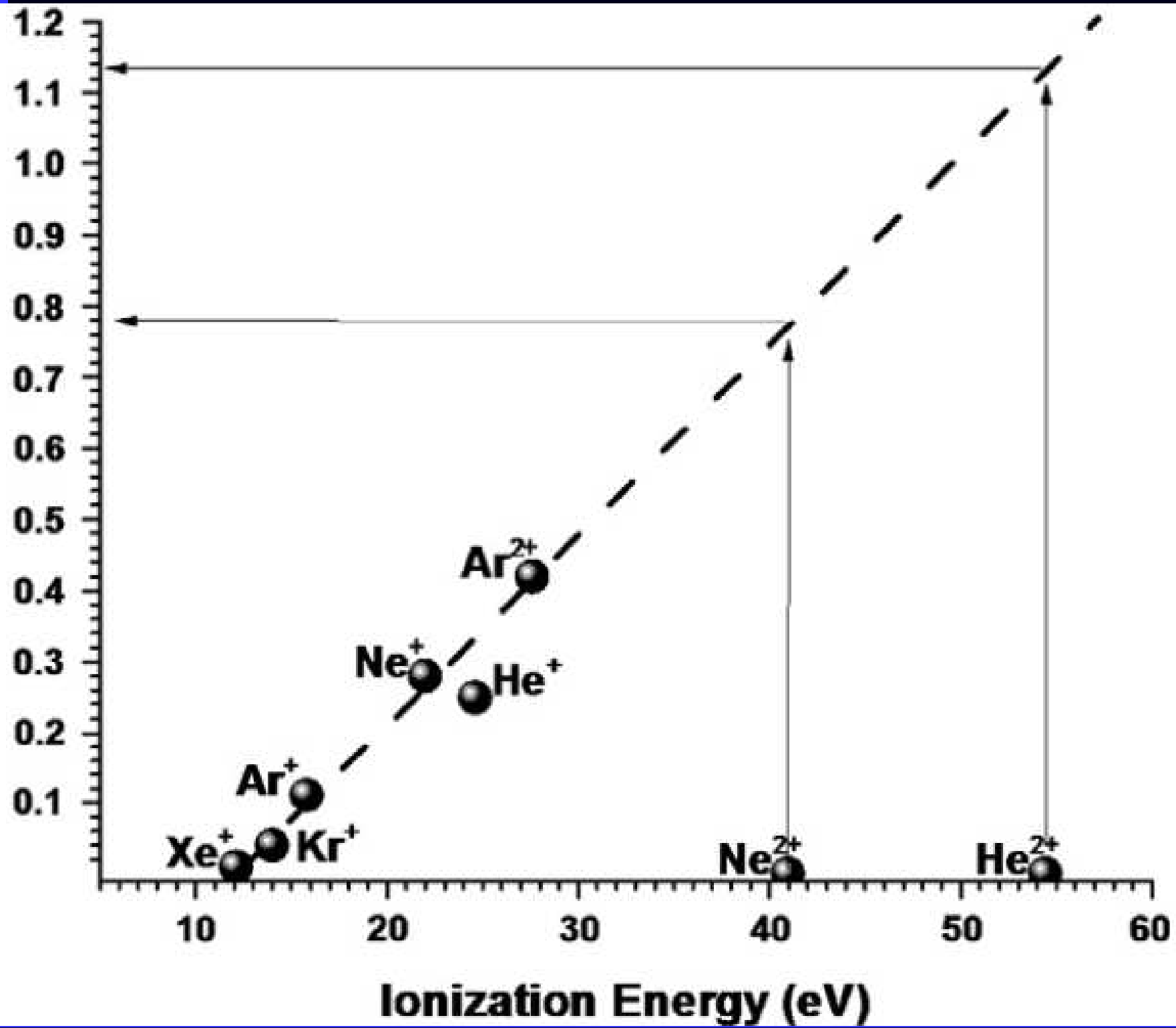


**Fig. 7.9** Total electron yield of  $\text{He}^{++}$  and  $\text{He}^+$  ions on atomically clean molybdenum.

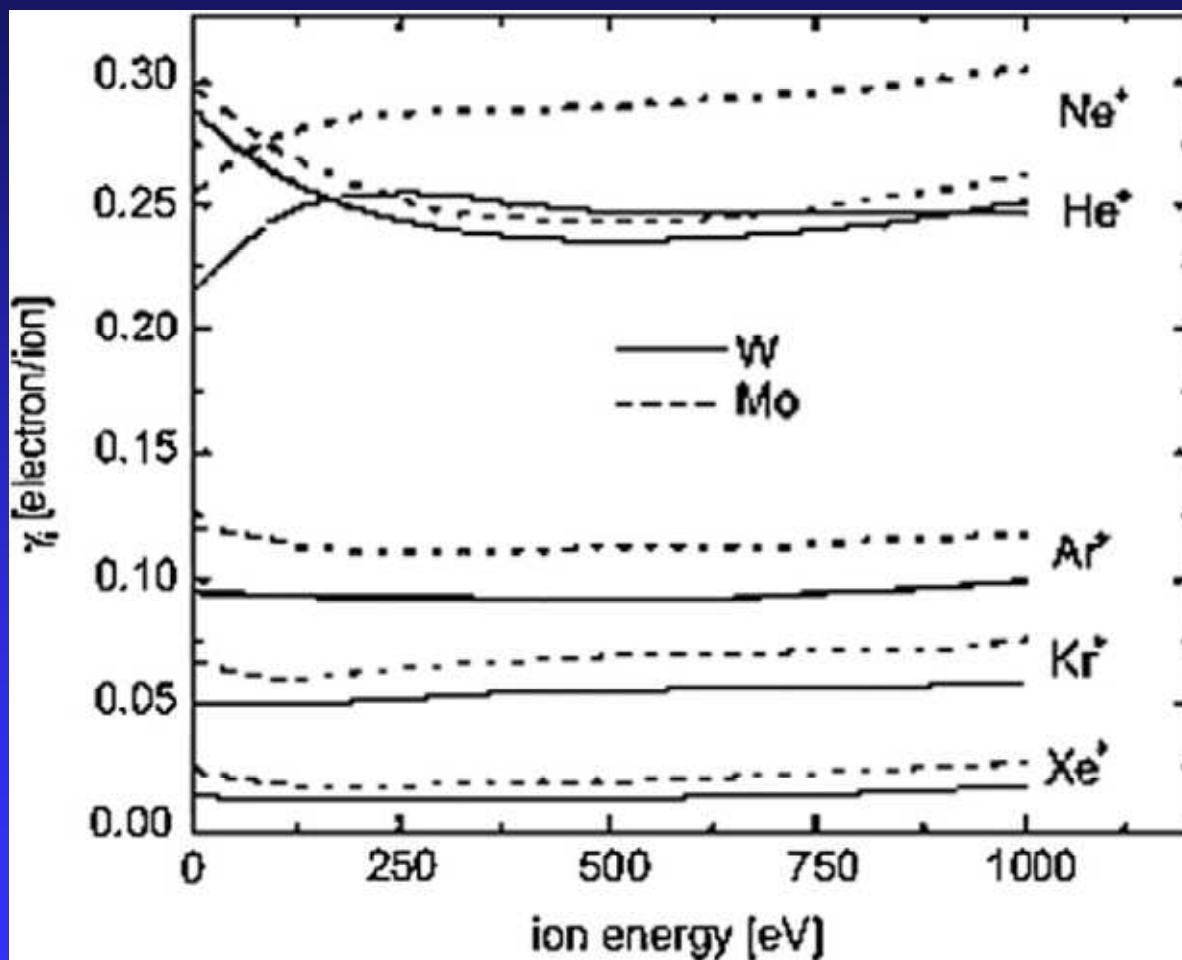
H. D. Hagstrum (1953)

PHYREV J1 V89 P244

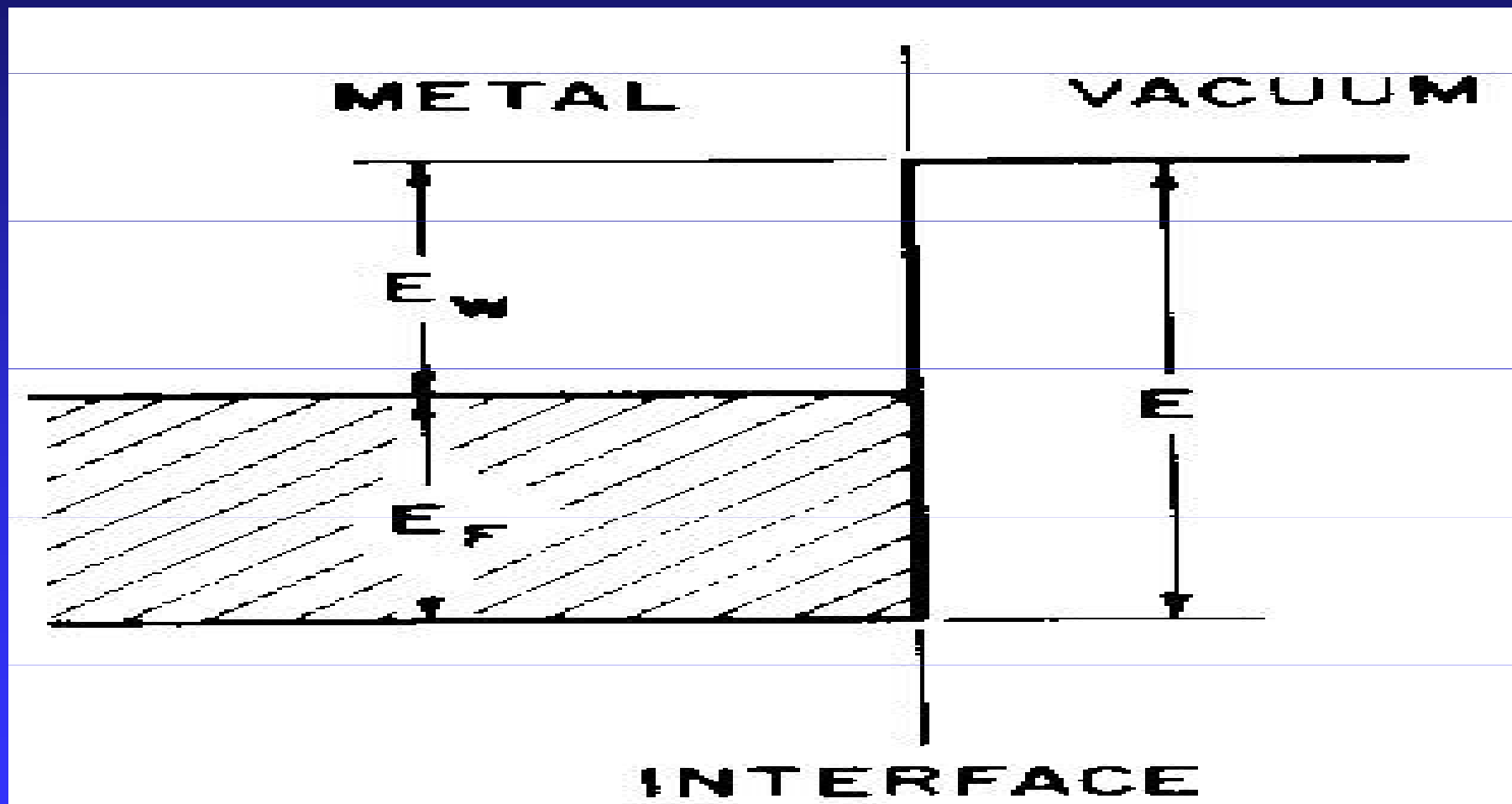
## Secondary electron emission coefficient ( $\gamma_{\text{ee}}$ )



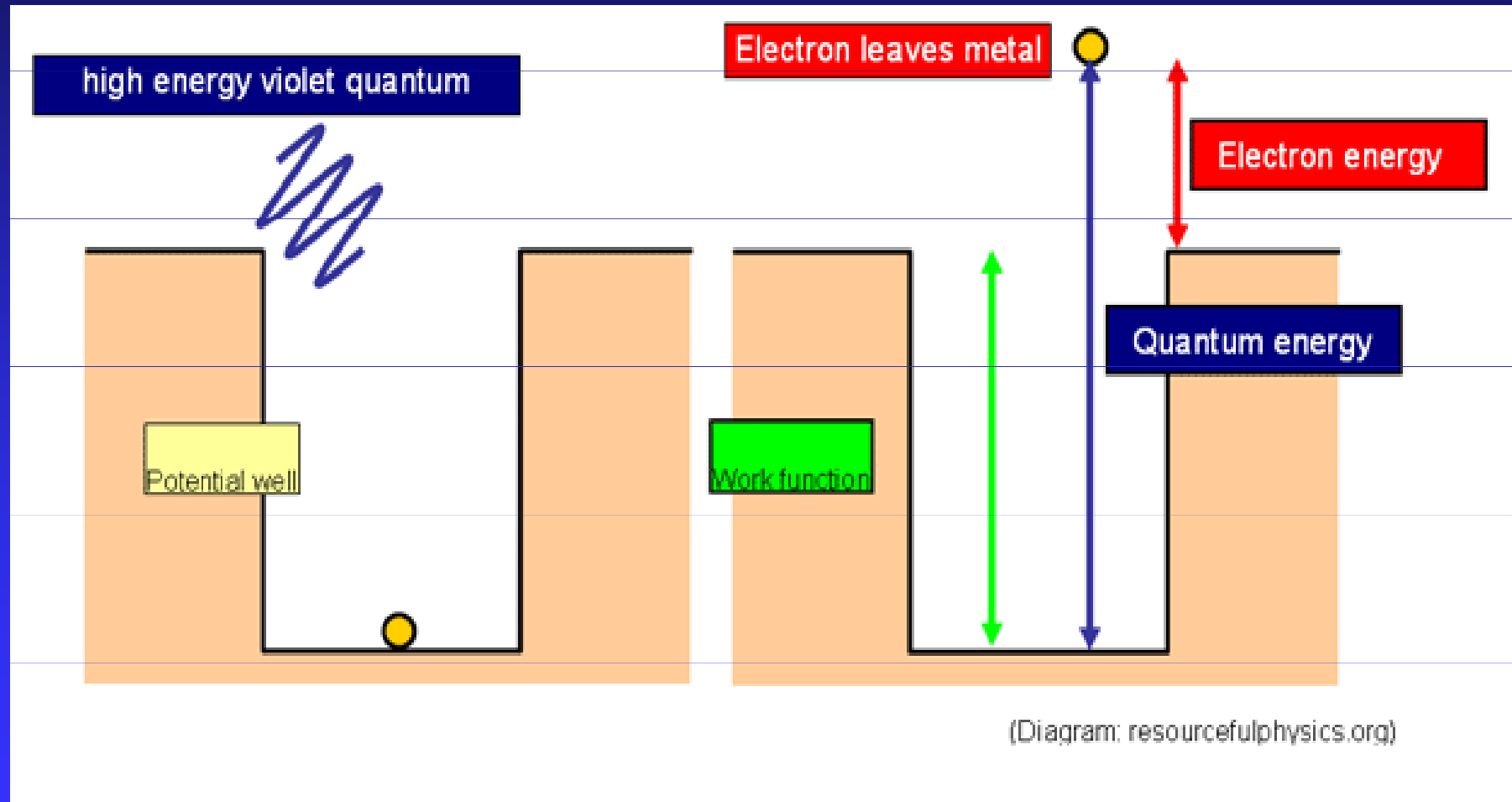
# Závislosť na materiáli katódy



# Výstupná práca $E_w$

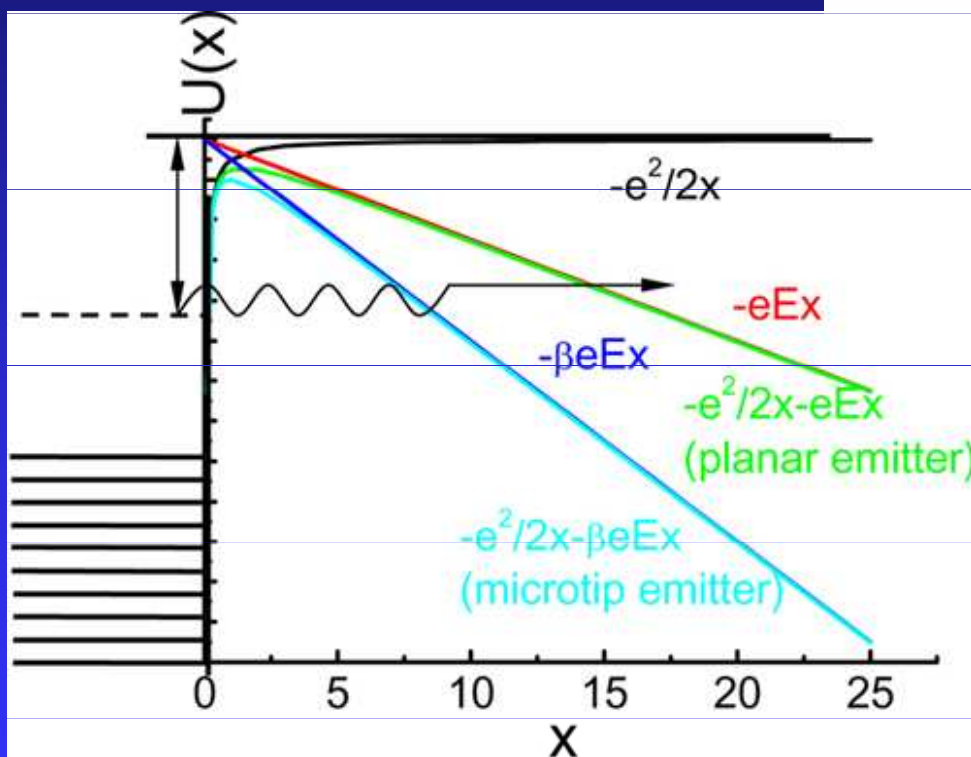


# Fotoemisja:



# Autoemisia – tunelový jav: Fowlerova Nordheimova rovnica:

$$J = A \frac{(\beta E)^2}{\phi} \exp \left( -\frac{\beta \phi^{3/2}}{\beta E} \right)$$



# Paschenov zákon – Paschenova krivka

- Napätie pri ktorom sa zapáli samostatný el. výboj v danom plyne závisí len na pomere medzielektródovej vzdialenosťi  $d$  a voľnej dráhy  $\lambda_i$ , ktorú potrebuje elektrón na ionizáciu molekuly nárazom, číže  $d/\lambda_i$ . Ked'že v danom plyne je  $\lambda_i$  nepriamo úmerná tlaku plynu  $p$  ((hustote  $N$ ) je zápalné napätie samostatného výboja funkciou  $p.d$  (N.d)).
- Ani príliš veľké, ani príliš male p.d nie sú vhodné pre účinnú ionizáciu, t.j., spôsobujú zvýšenie zápalného napäťia. Preto pre daný plyn existuje optimálne  $(p.d)_{\min}$ , kde je zápalné napätie minimálne:

# Zápalné napätie

Koeficienty  $\alpha$  a  $\gamma$  závisia od napäťia medzi elektródami

Výraz pre zápalné napätie  $U_z$  dostaneme spojením vztahov

$$\alpha/p \approx Ae^{-Bp/E} \quad \text{a } \gamma(e^{\alpha x} - 1) \geq 1 \quad (\text{pričom } U = E.d)$$

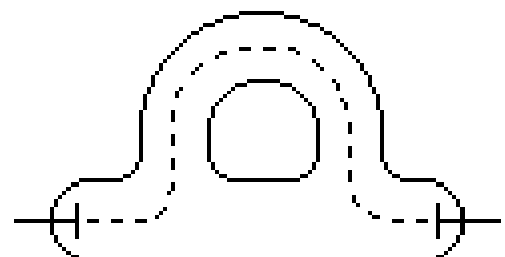
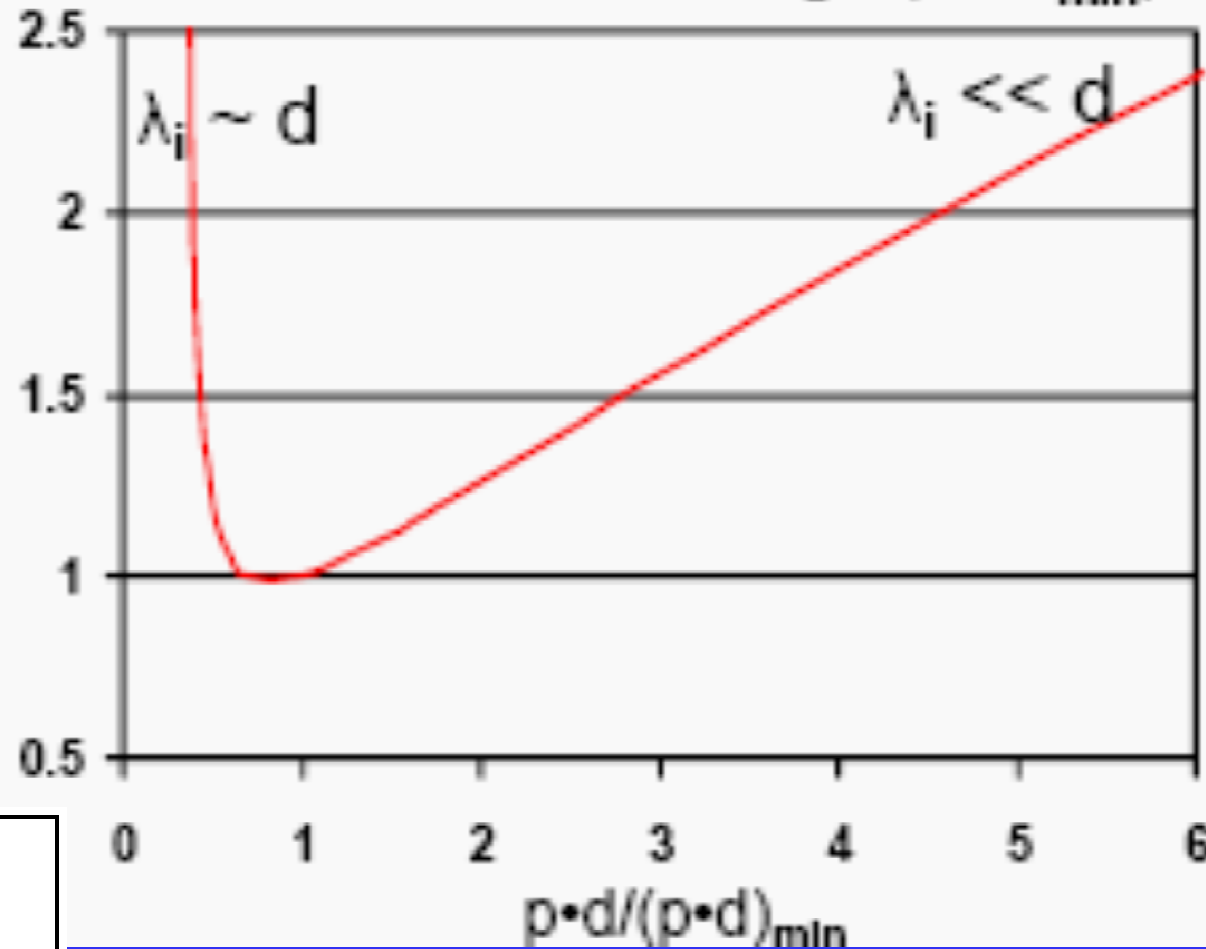
(odvodenie vid'. V. Martišovič: Základy f. plazmy, Bratislava 2004)

$$U_z = \frac{A.pd}{\ln \left[ \frac{B.pd}{\ln \left( + \frac{1}{\gamma} \right)} \right]} = f(pd)$$

zápalné napätie je funkciou súčinu tlaku  
plynu a vzdialenosťi elektród!

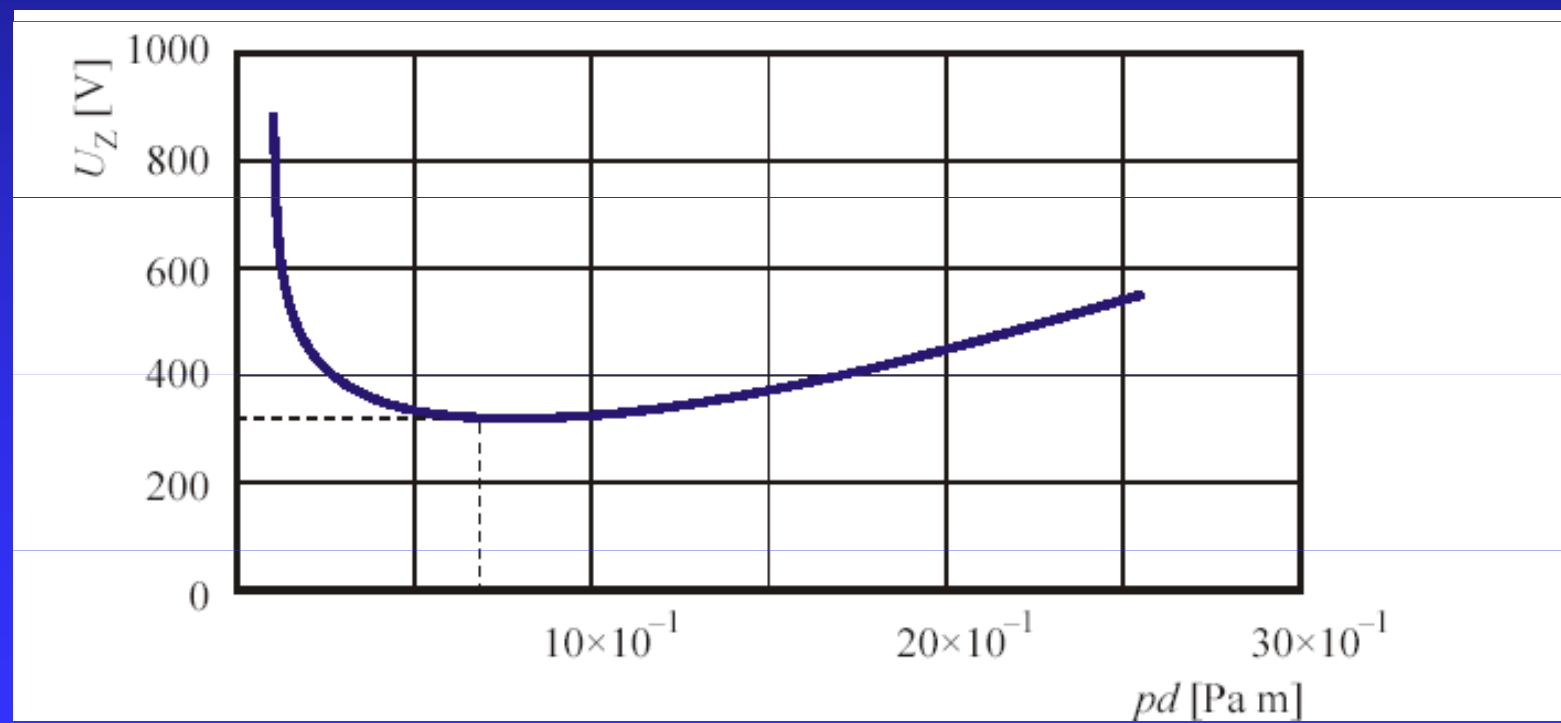
Paschenov zákon

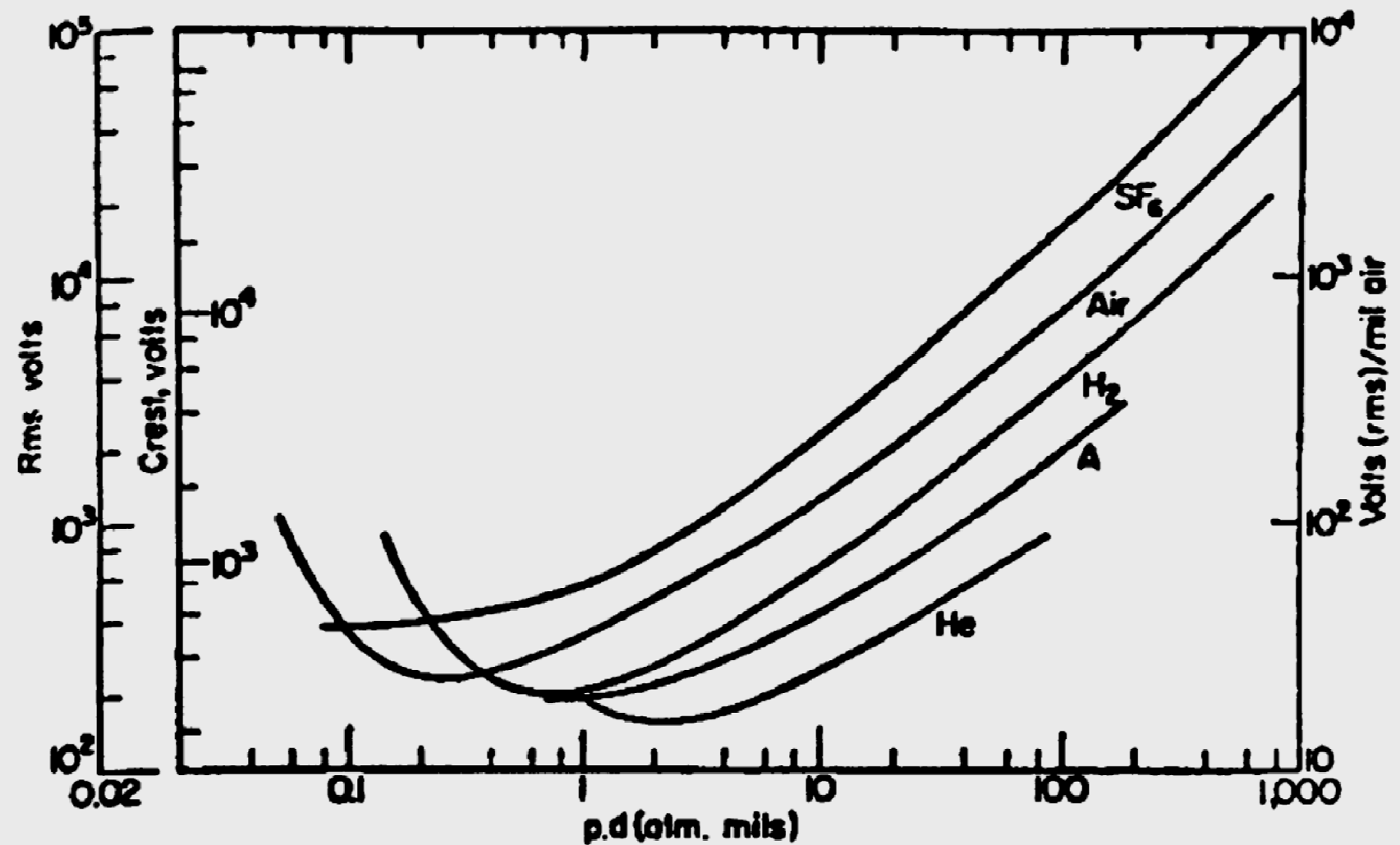
## The Breakdown Voltage ( $V/V_{min}$ )



$p \cdot d < (p \cdot d)_{min}$   
**Long Path Breakdown**

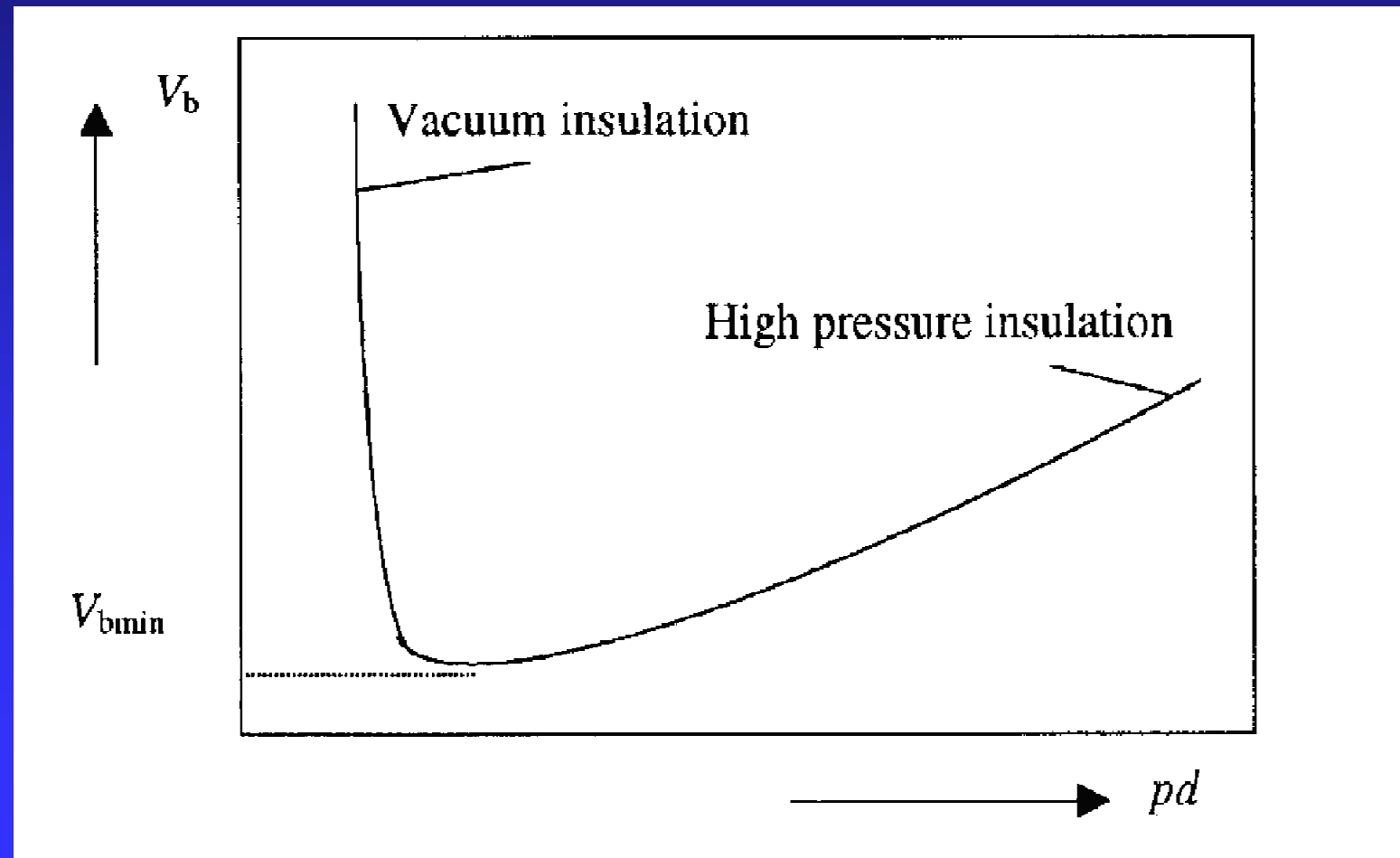
Paschenova krivka je experimentálne určená závislosť zápalného napätia  $U_z$  na tlaku plynu  $p$  a vzdialenosťi elektród  $d$ . Pri atmosférickom tlaku a vzdialenosťi  $d = 1\text{ mm}$  je prierazné napätie vo vzduchu asi 1 kV. Nejmenší prierazné napätie 300 V odpovedá tlaku 1 torru a vzdálosťi elektrod 1 cm. Paschenova křivka pro vzduch je znázorněna na obrázku



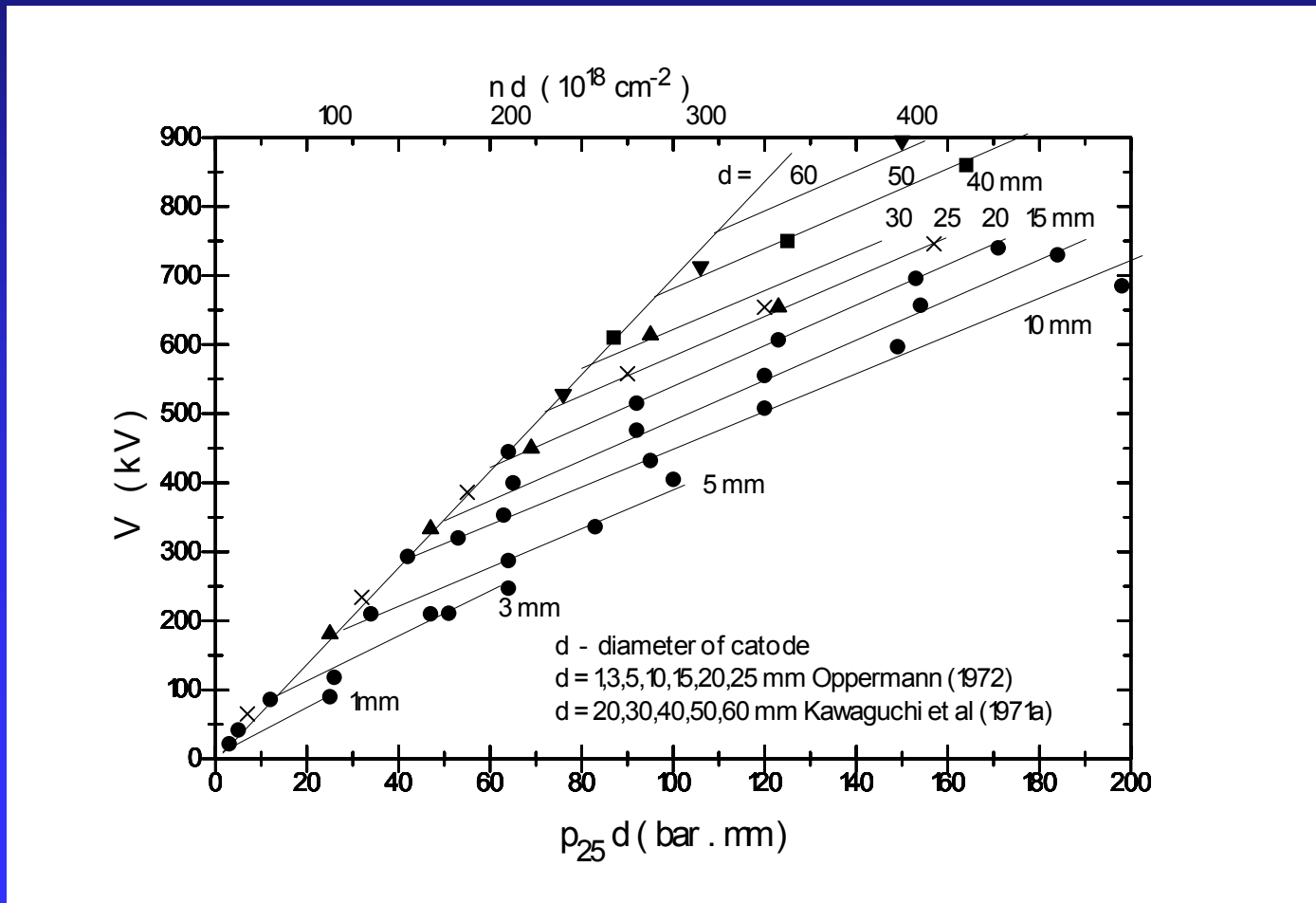


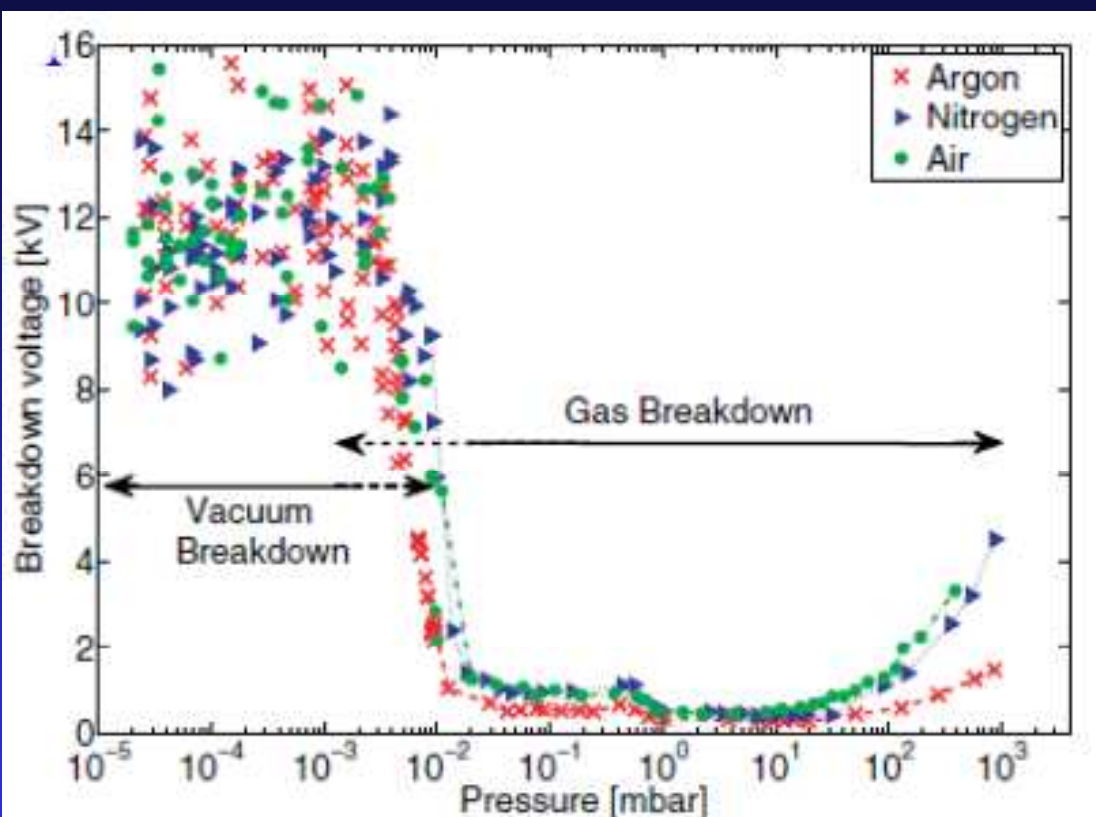
Na izoláciu VN môžeme použiť, alebo vakuum, alebo vysoký tlak plynu. V oboch prípadoch však narazíme na limit intensity el. pol'a asi  $10^5 \text{V/cm}$ .

Prečo?



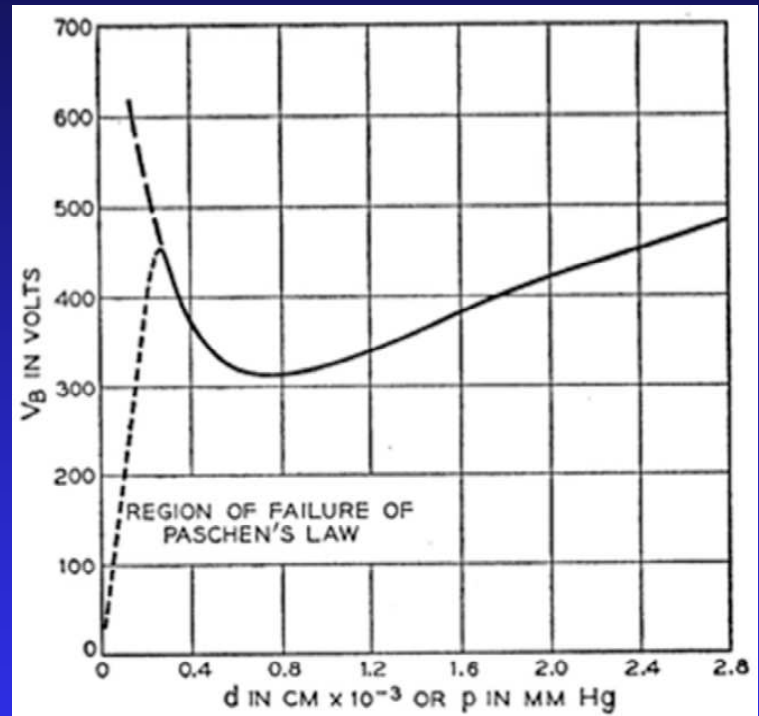
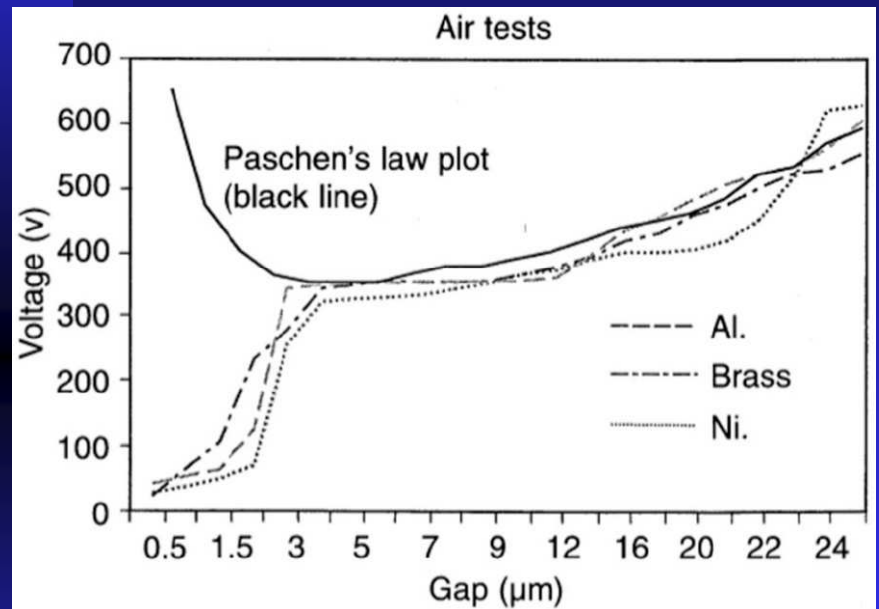
Autoemisia nezávisí od E/N ale E.  
pri poliach nad  $10^5$  V/cm sposobí odchýlku od  
Paschenovej krivky a neplatnosť Paschenovho  
zákona:





**Figure 3.** Measured dc breakdown voltages for the ring assembly from  $2 \times 10^{-5}$  to  $10^3$  mbar in different gases.

# Pre malé vzdialenosť elektród:



Plot of the breakdown voltage as a function of the electrode gap spacing  $d$  for ambient air at atmospheric pressure using different cathode materials

D B Go and A Venkattraman 2014 *J. Phys. D: Appl. Phys.* **47**

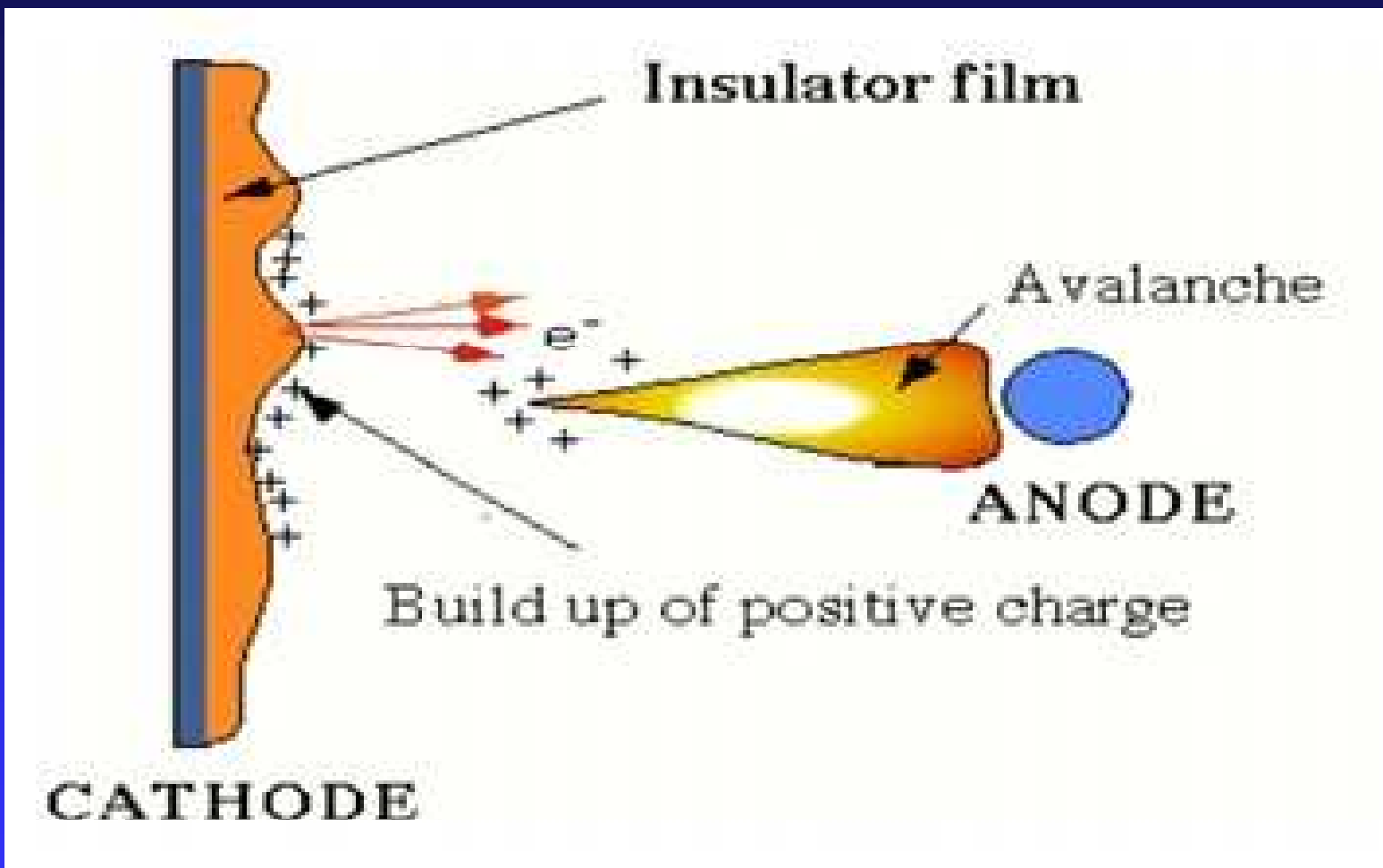
# Malterova emisia

OPTOELECTRONICS AND ADVANCED MATERIALS – RAPID  
COMMUNICATIONS Vol. 6, No. 3-4, March - April **2012**, p. 416 - 421

## Investigation of field electron emission from ITO/glass interfaces

JADWIGA OLESIK

- „In 1936 Louis Malter studied the phenomenon of secondary emission from poorly conducting oxides and discovered some anomalies [1–3]. The anomalous secondary emission was caused by charging of the emitter surface and production of an internal electric field in investigated samples. Uncontrolled behavior of this emission made impossible practical application of its properties like e.g. some high values of the secondary emission coefficient. If it was possible to produce a given value internal field in a sample, then the secondary emission would be controllable. In this work such an attempt has been taken.“



# Vplyv magnetického pol'a:

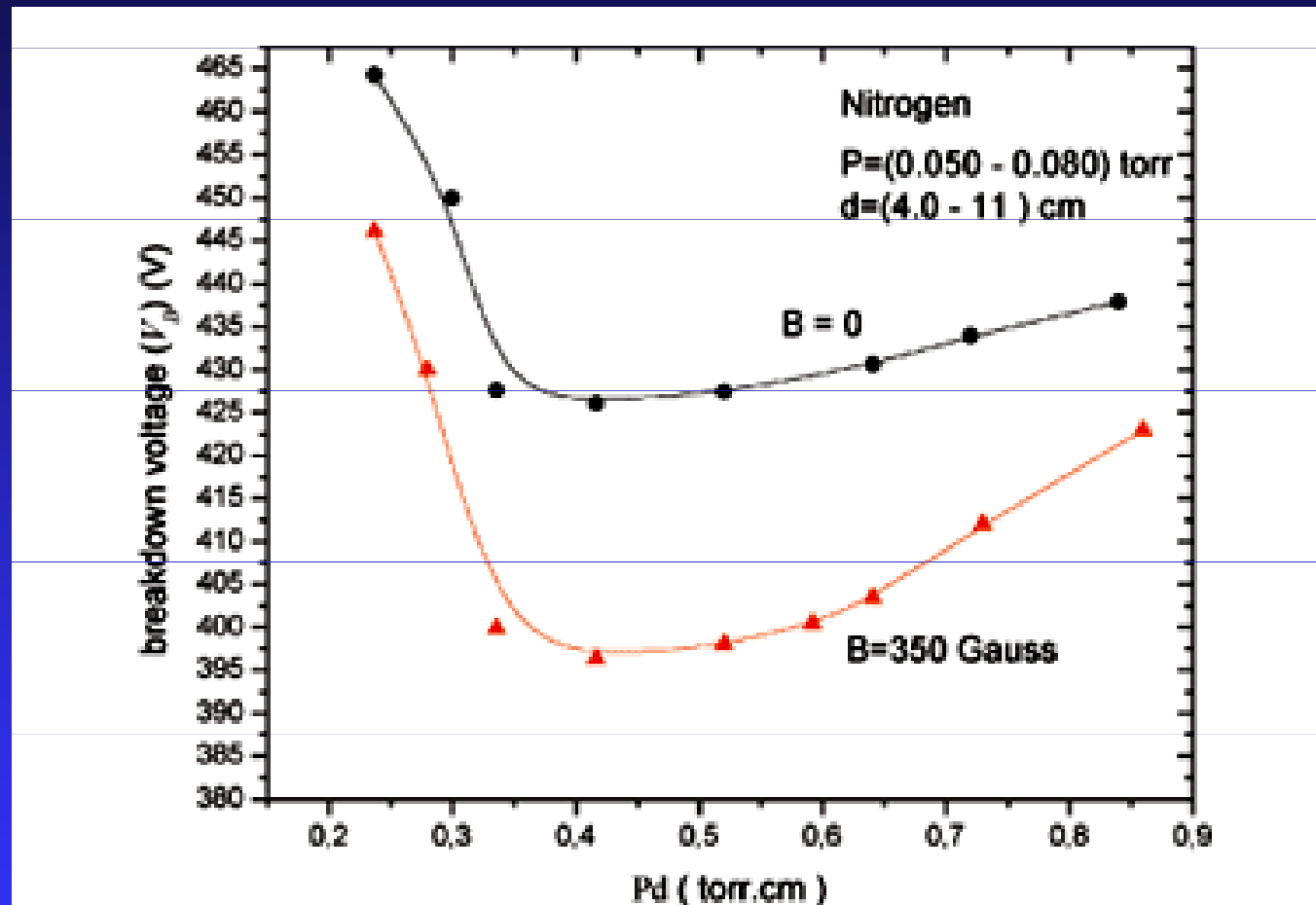
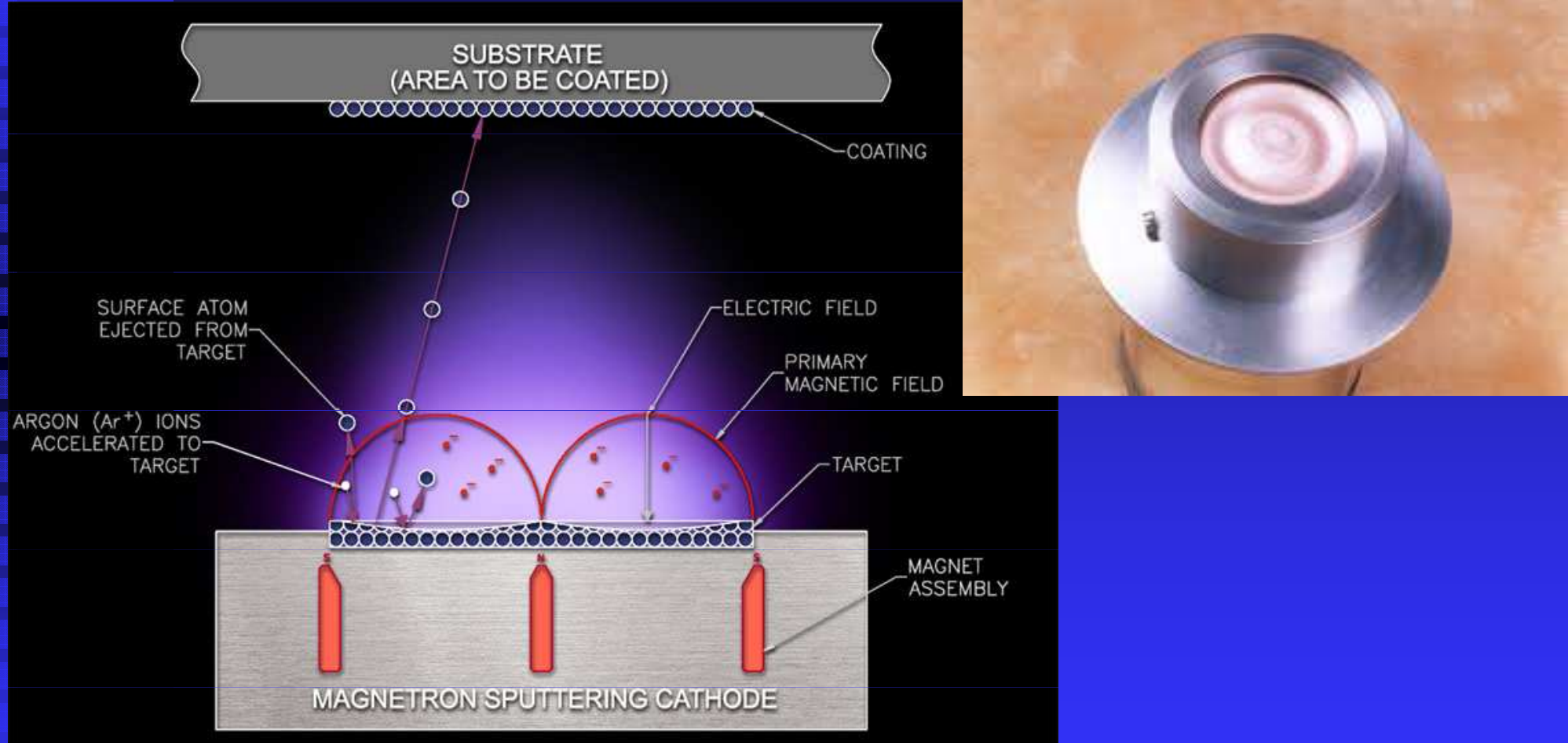
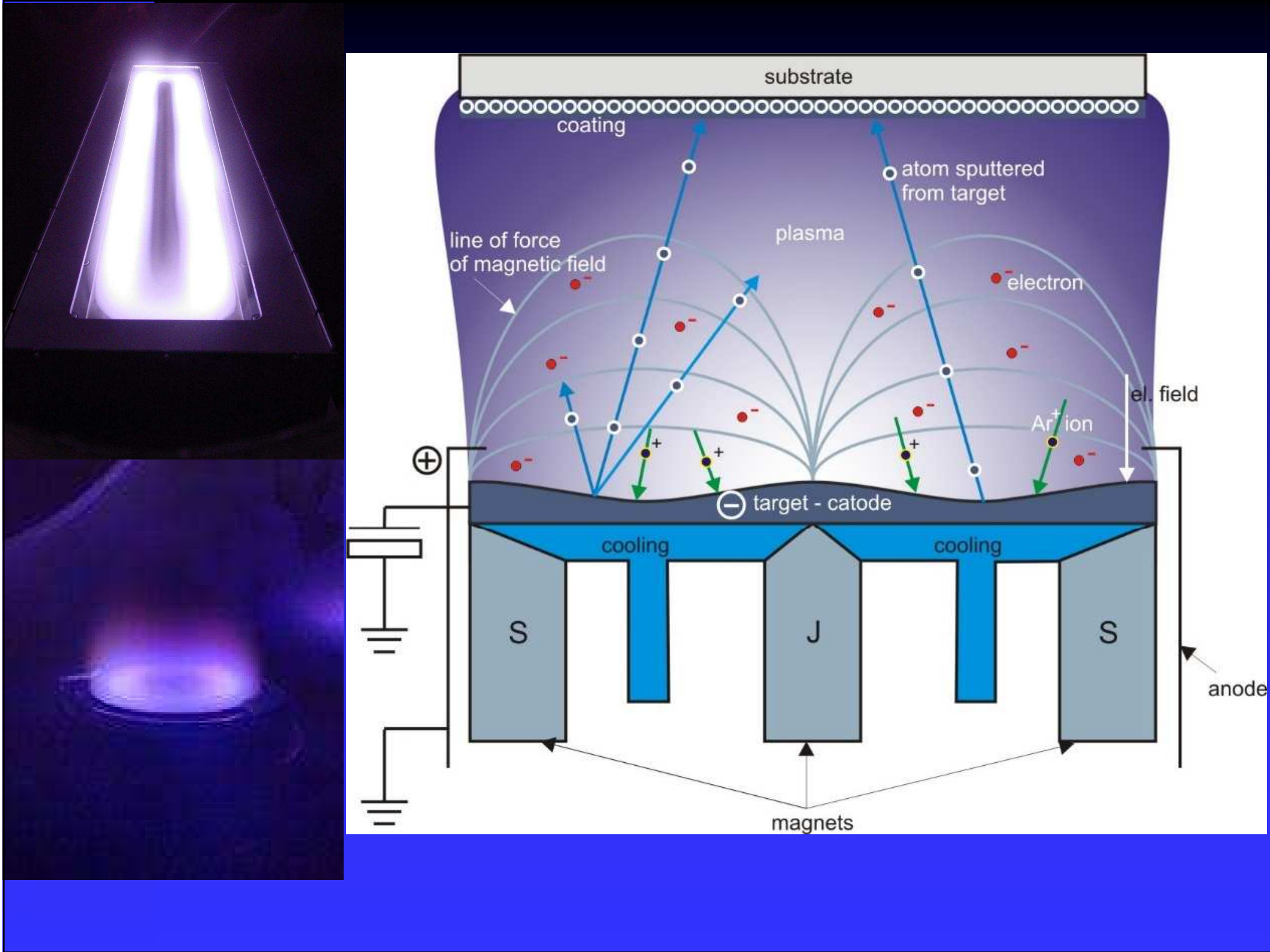


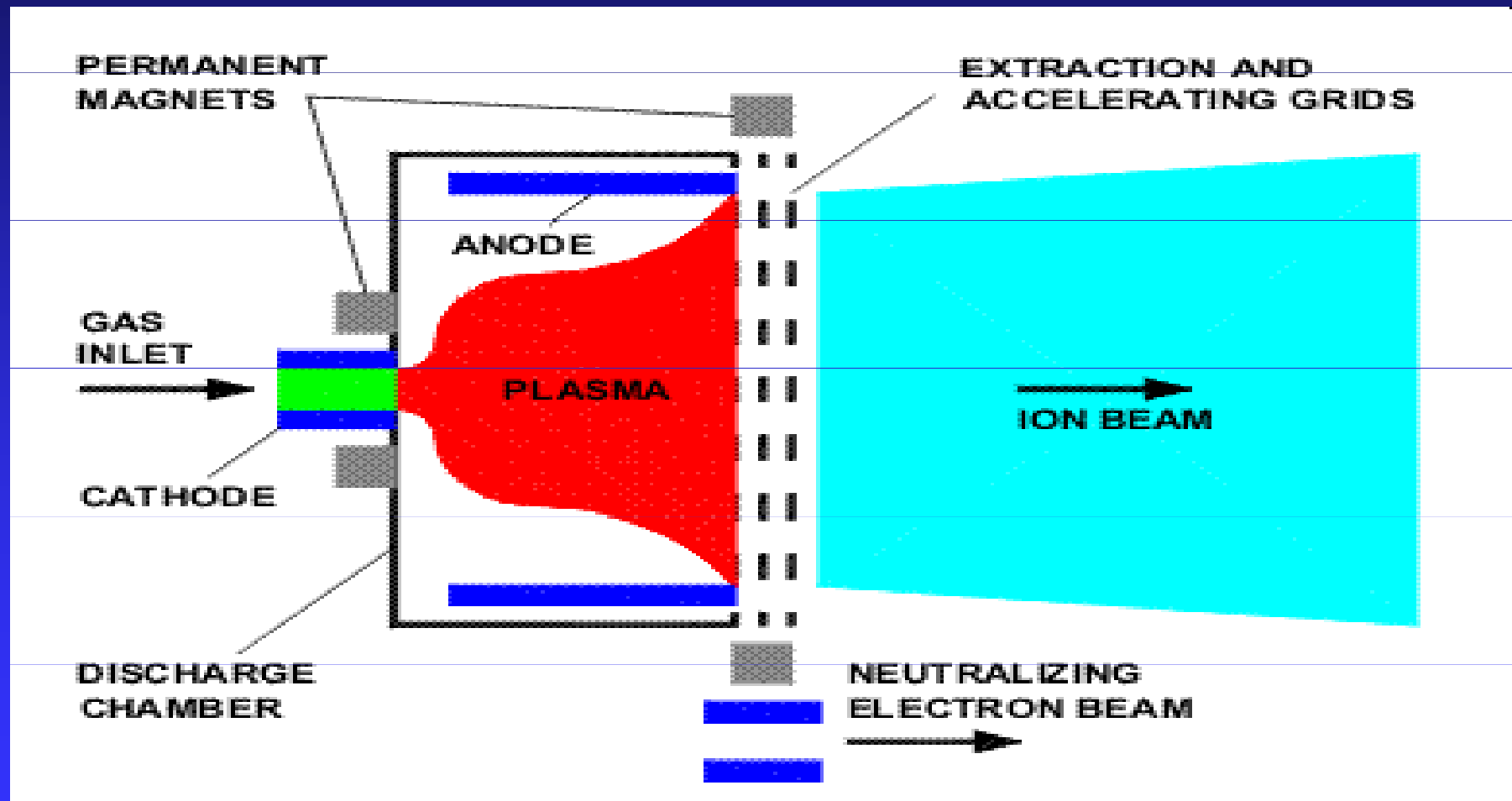
Figure 3. Breakdown voltage ( $V_B$ ) for nitrogen as a function of  $Pd$  (Paschen curves) for two values of magnetic field.

# Magnetrónové naprašovanie:

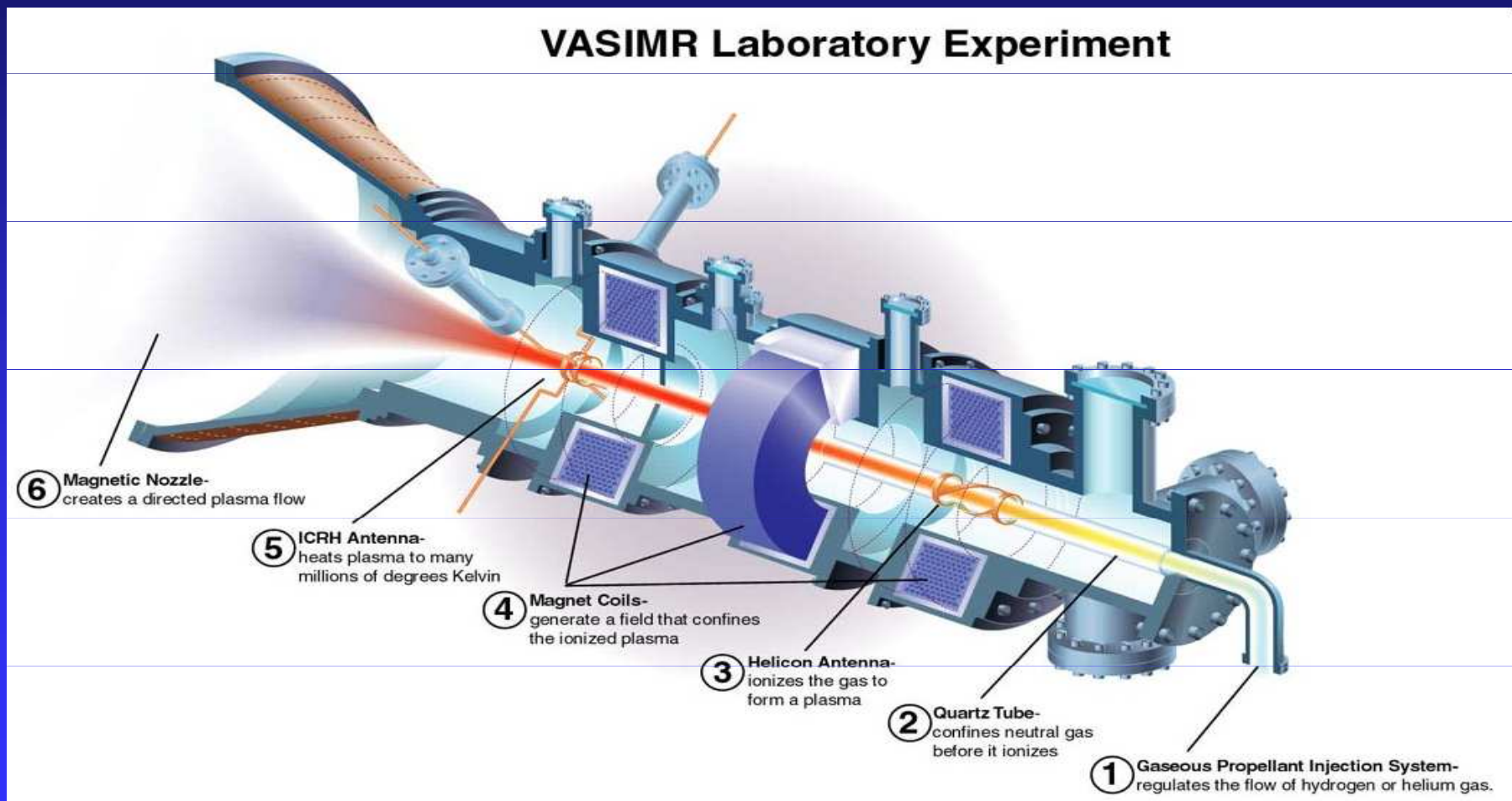




# Iónový reaktívny motor:



# Iónový reaktívny motor:



# Penningov zdroj

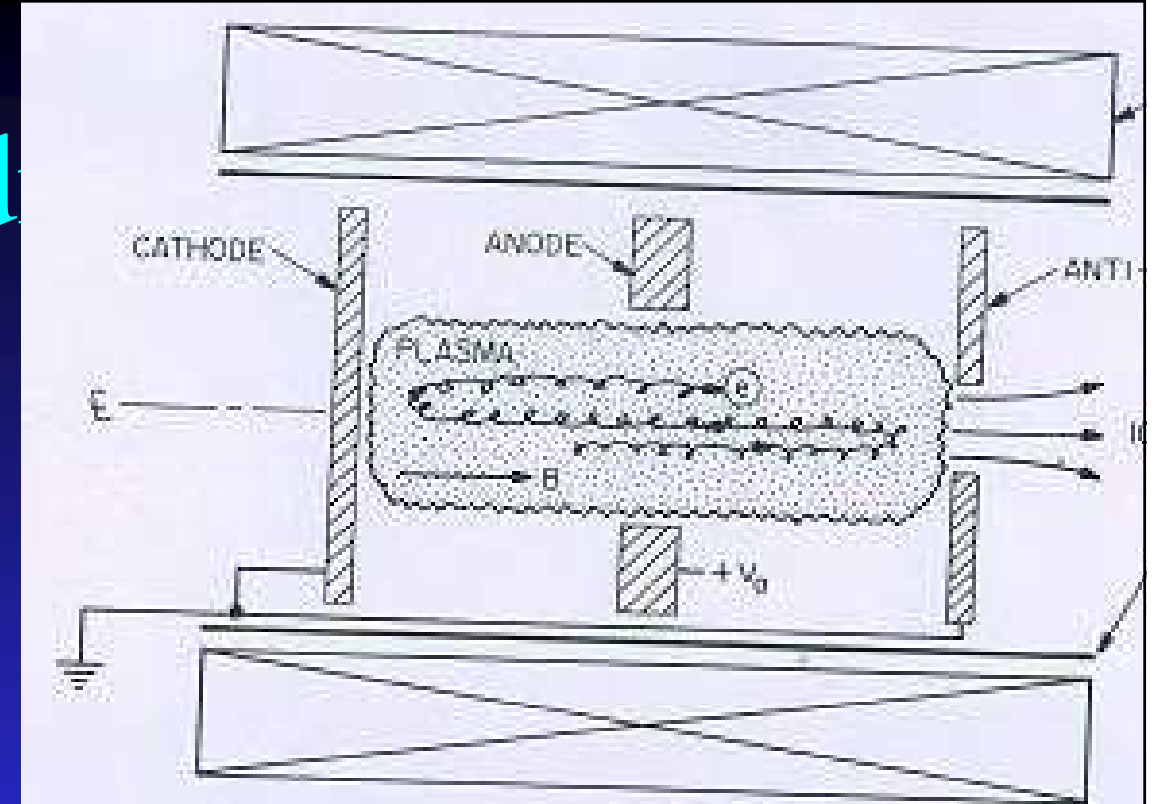
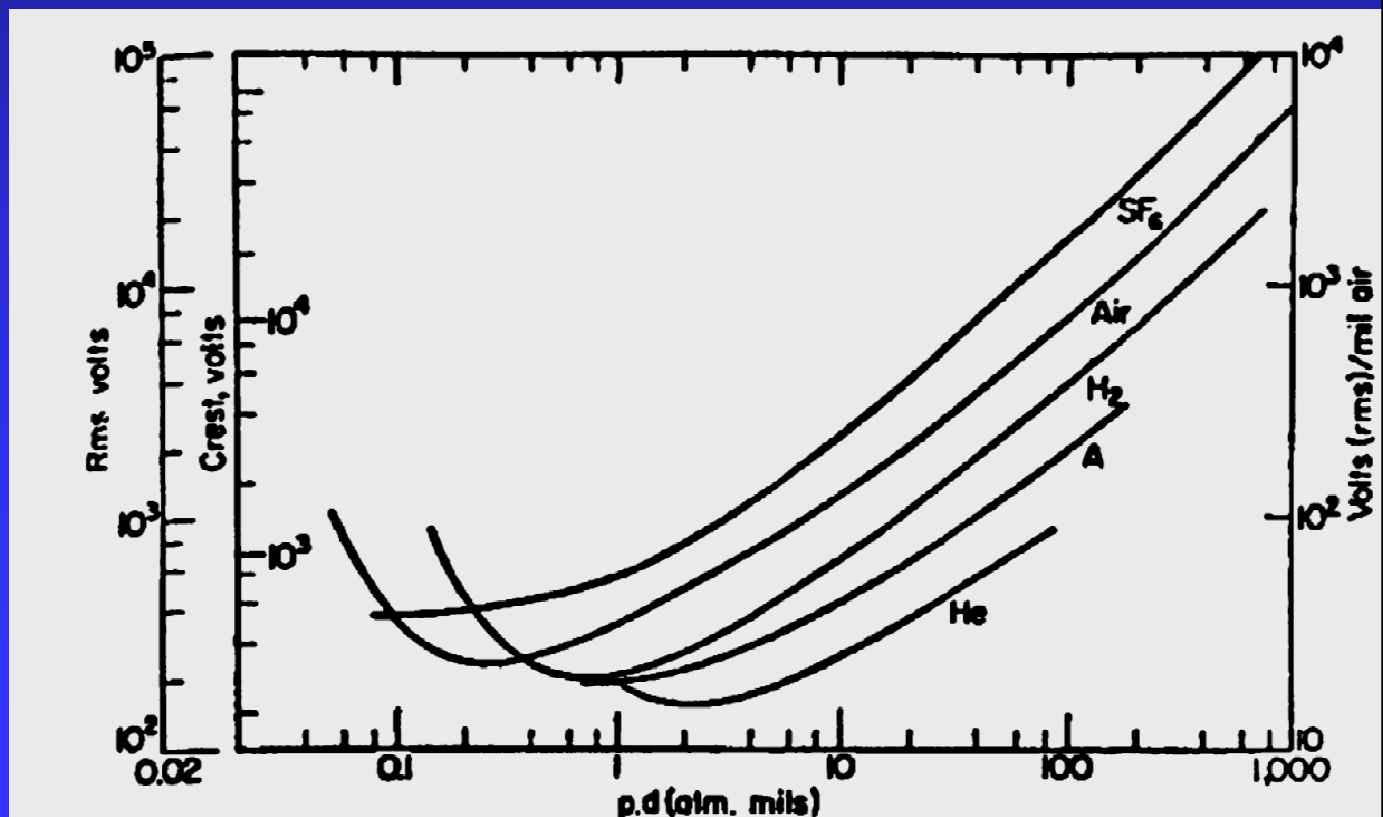


Figure 6.11 The Penning ion source, with a cylindrical anode center and two cathodes at either end. A small hole on the cathode allows a beam of ions to escape.

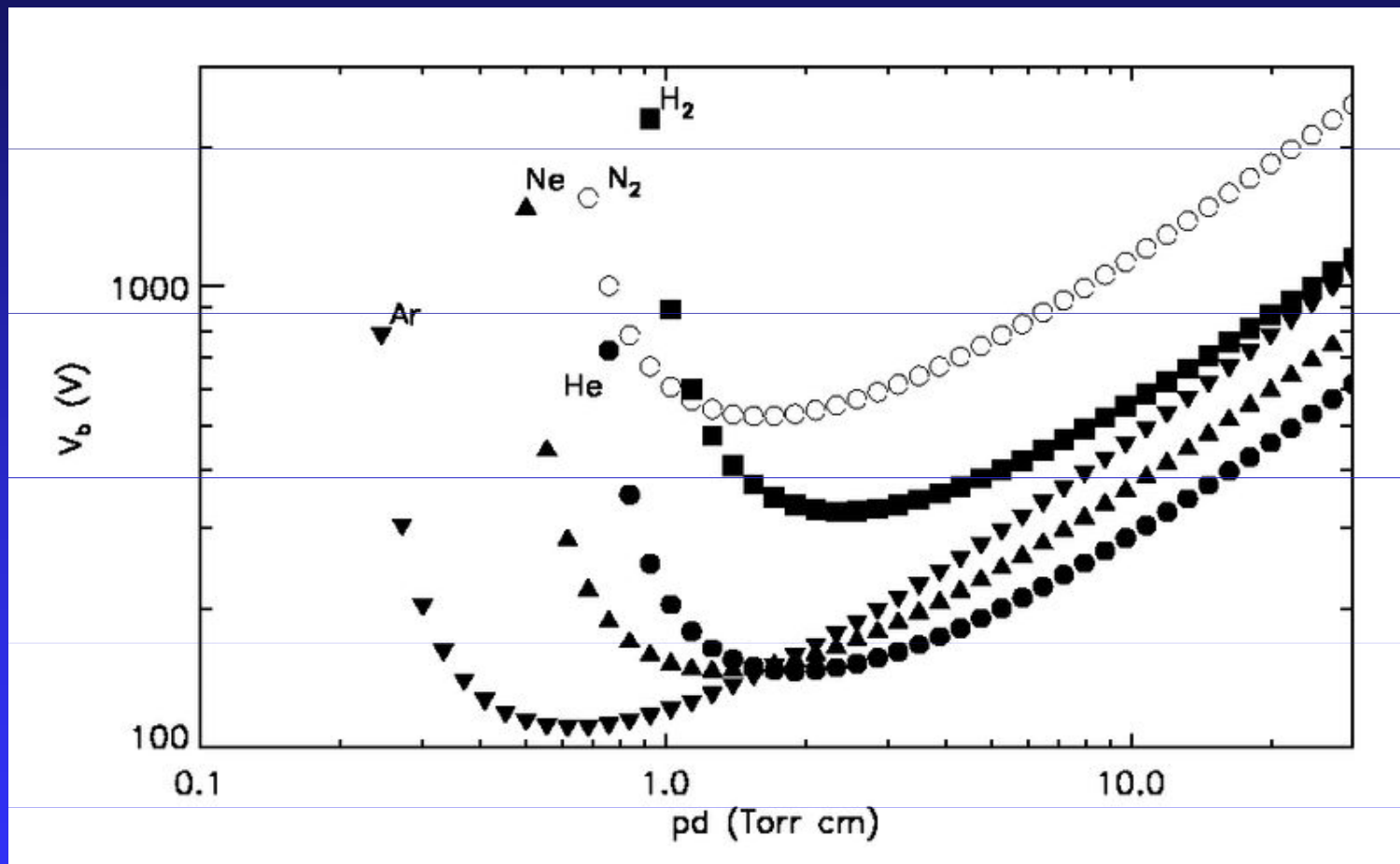
# Penningova ionizácia

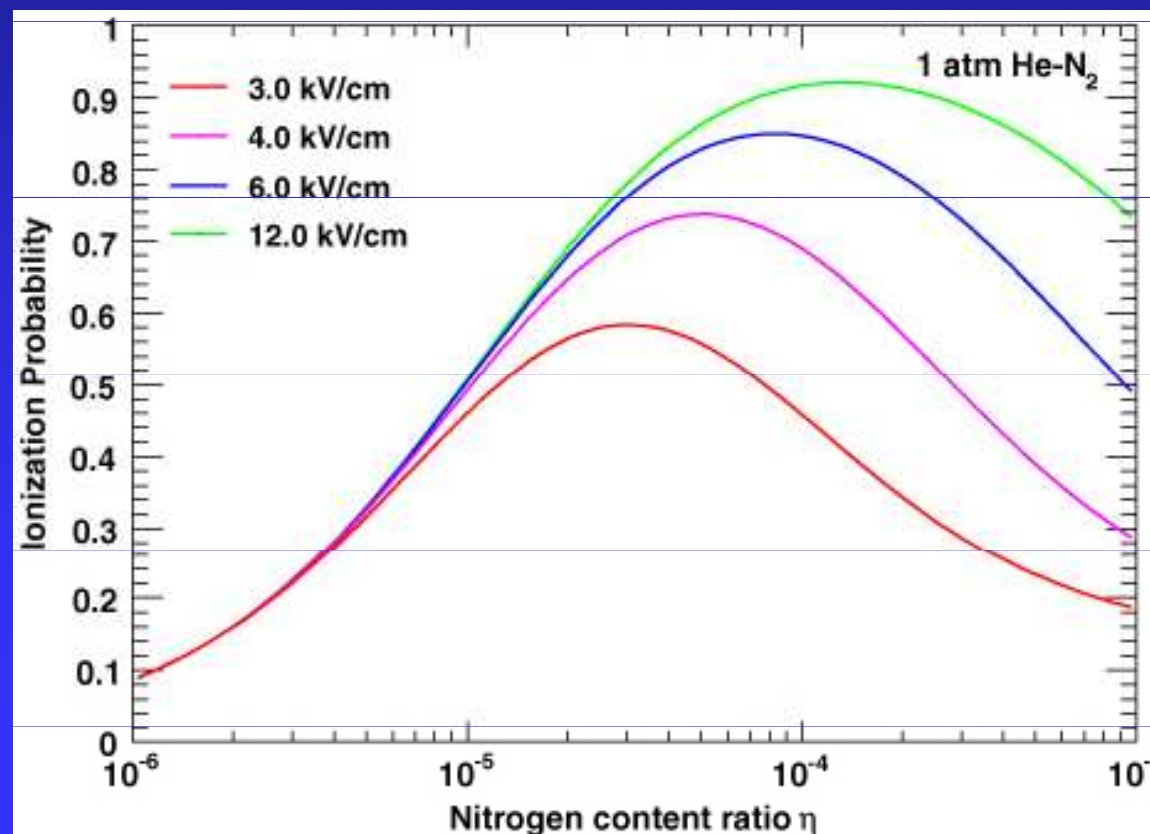
## ■ Ionizačné energie:

- He (24,59 eV)
- Ar (15,4 eV)
- SF<sub>6</sub> (15,3)

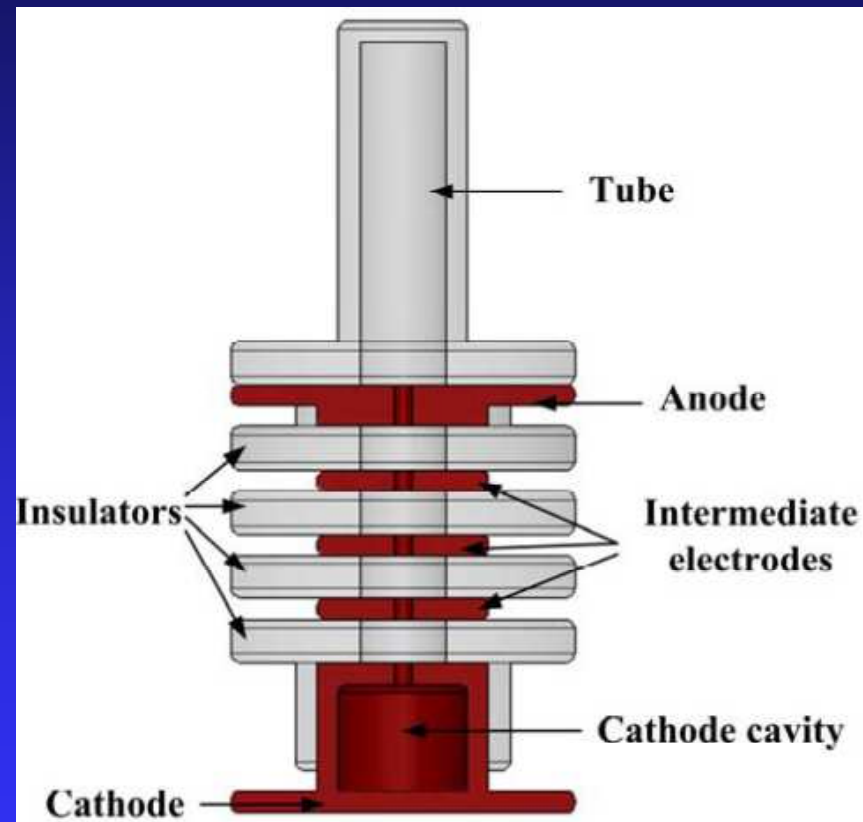
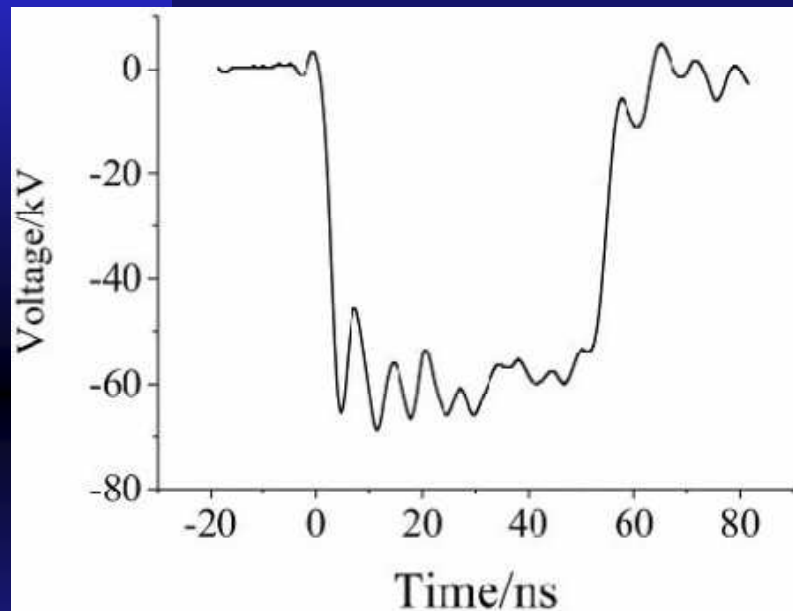


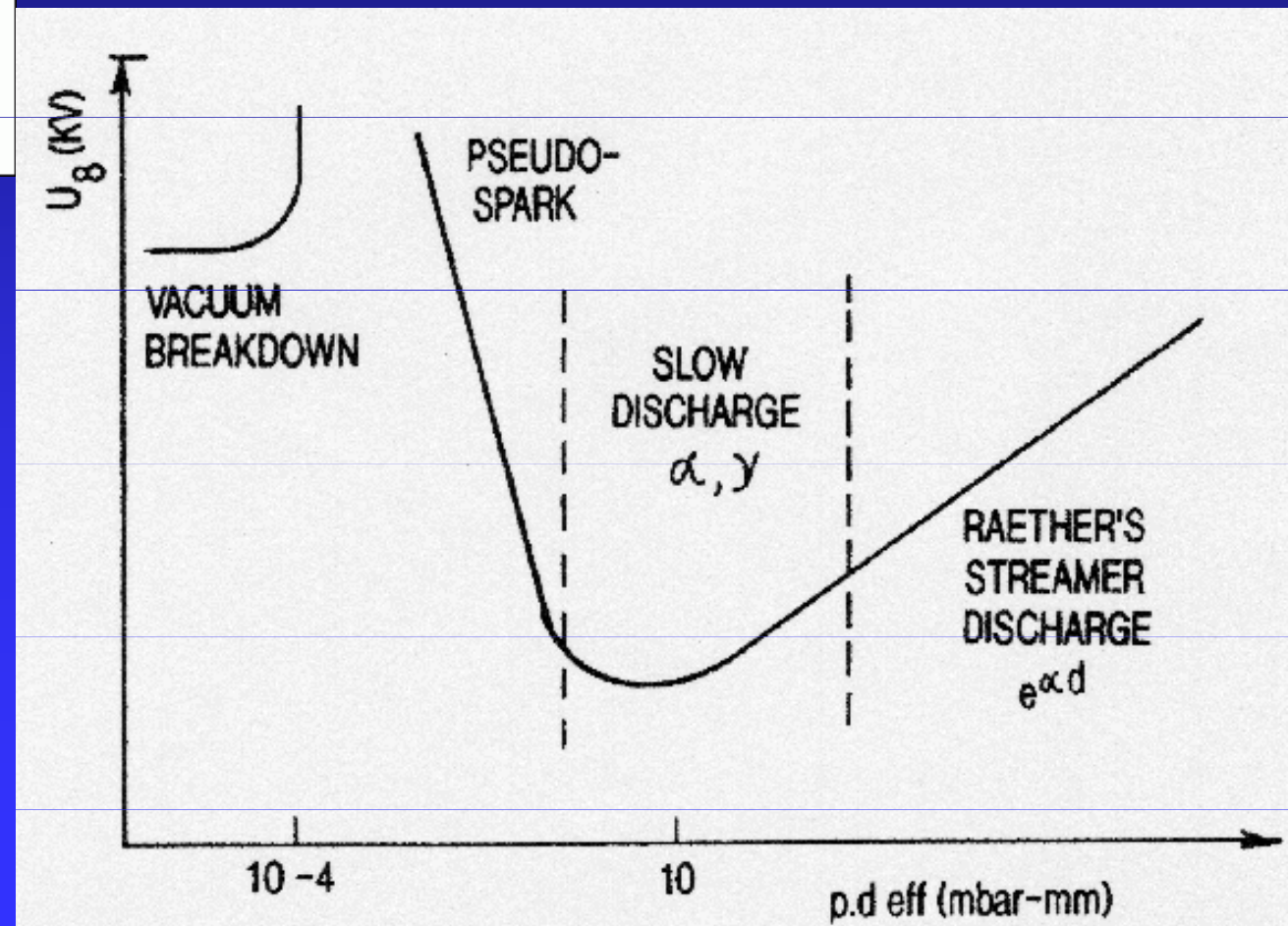
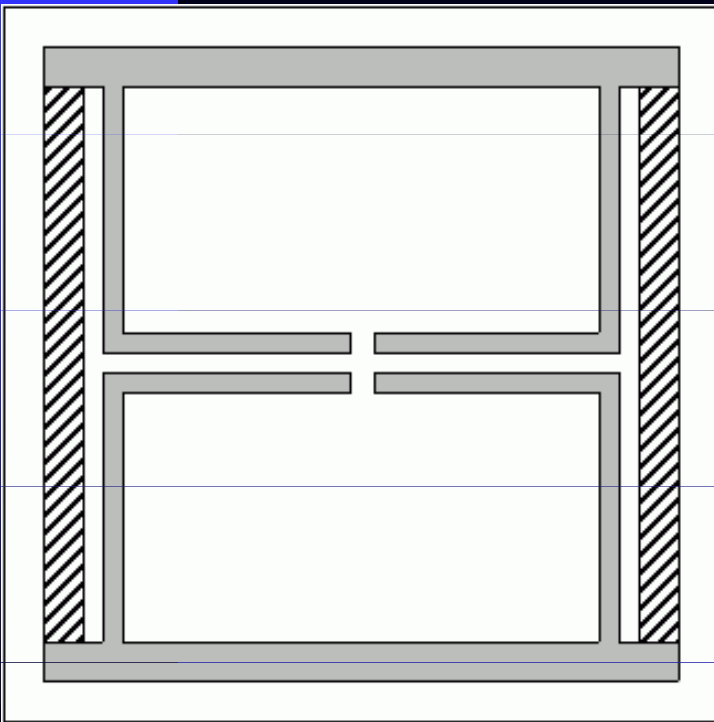
Lieberman and Lichtenberg, Principles of Plasma Discharges, Wiley 2005.

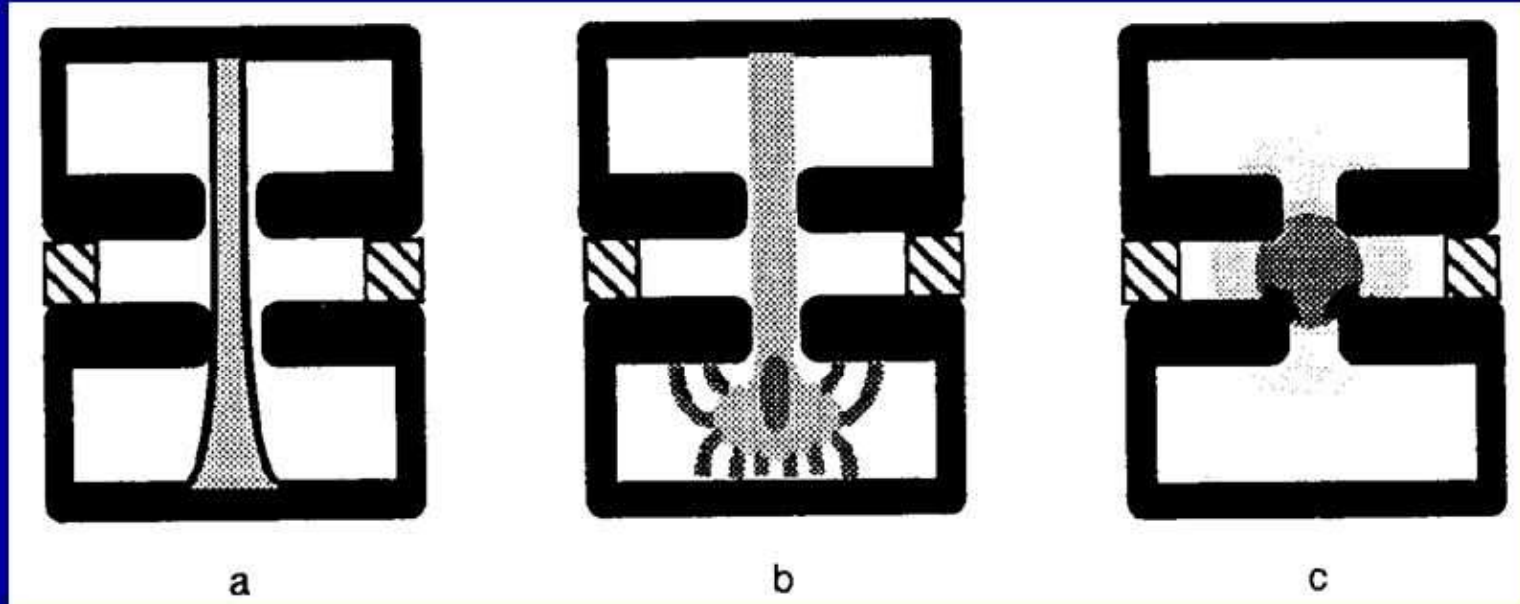




# „Pseudospark“ spínače





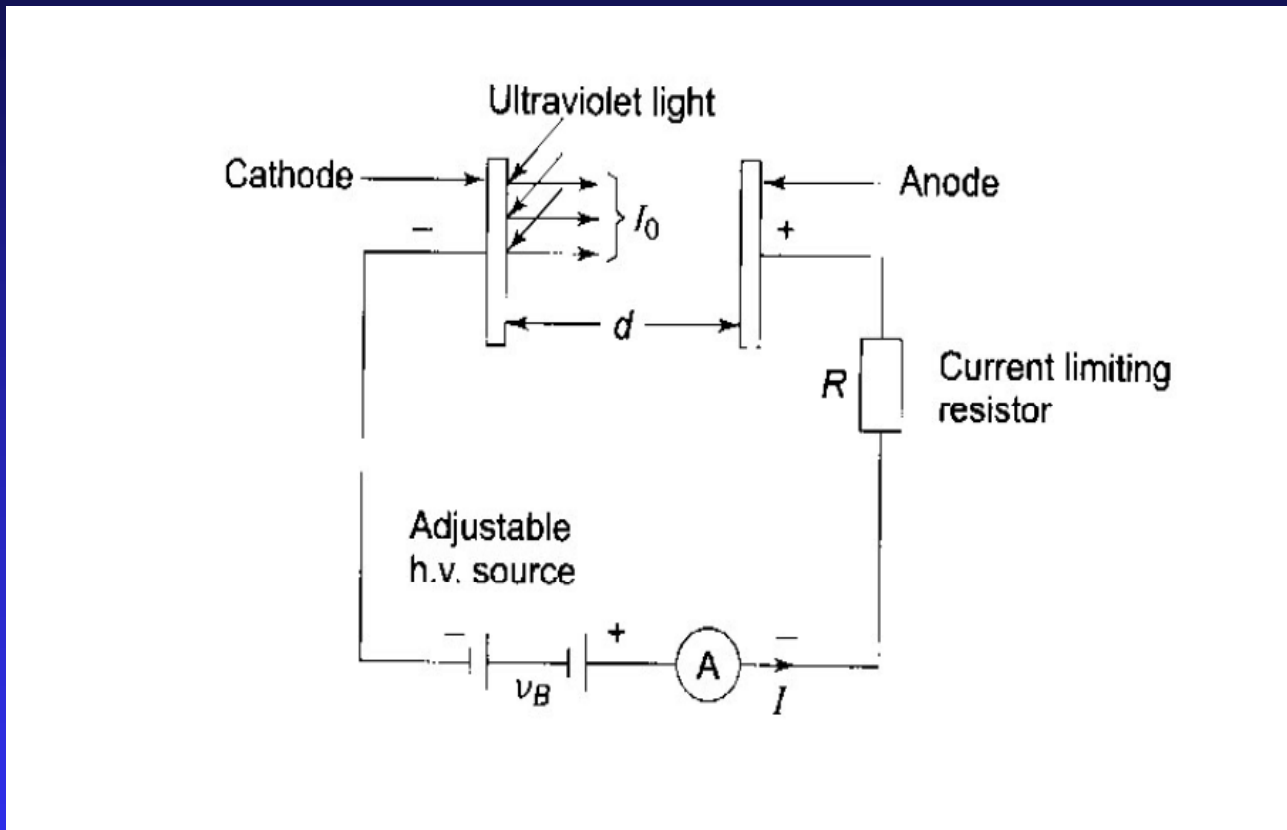


- 3 stages during a pseudospark discharge:
  - a) Townsend discharge
  - b) Hollow cathode discharge
  - c) Superdense glow discharge (conductive phase)

M. Stetter, P. Felsner, J. Christiansen, K. Frank, A. Gortler, G. Hunts *et al*, *IEEE Trans Plasma Sci.*, vol. 23, no. 3, *Special Issue on Pseudospark Physics and Applications*, pp283-293, 2004

# Meranie $\alpha$ a $\gamma$ s využitím stacionárneho Townsendovho výboja:

Merania pri tlaku rádove 100 Pa ( jednotky Torr), napätiach rádove kV a prúdoch 0,01 pA až 10 nA



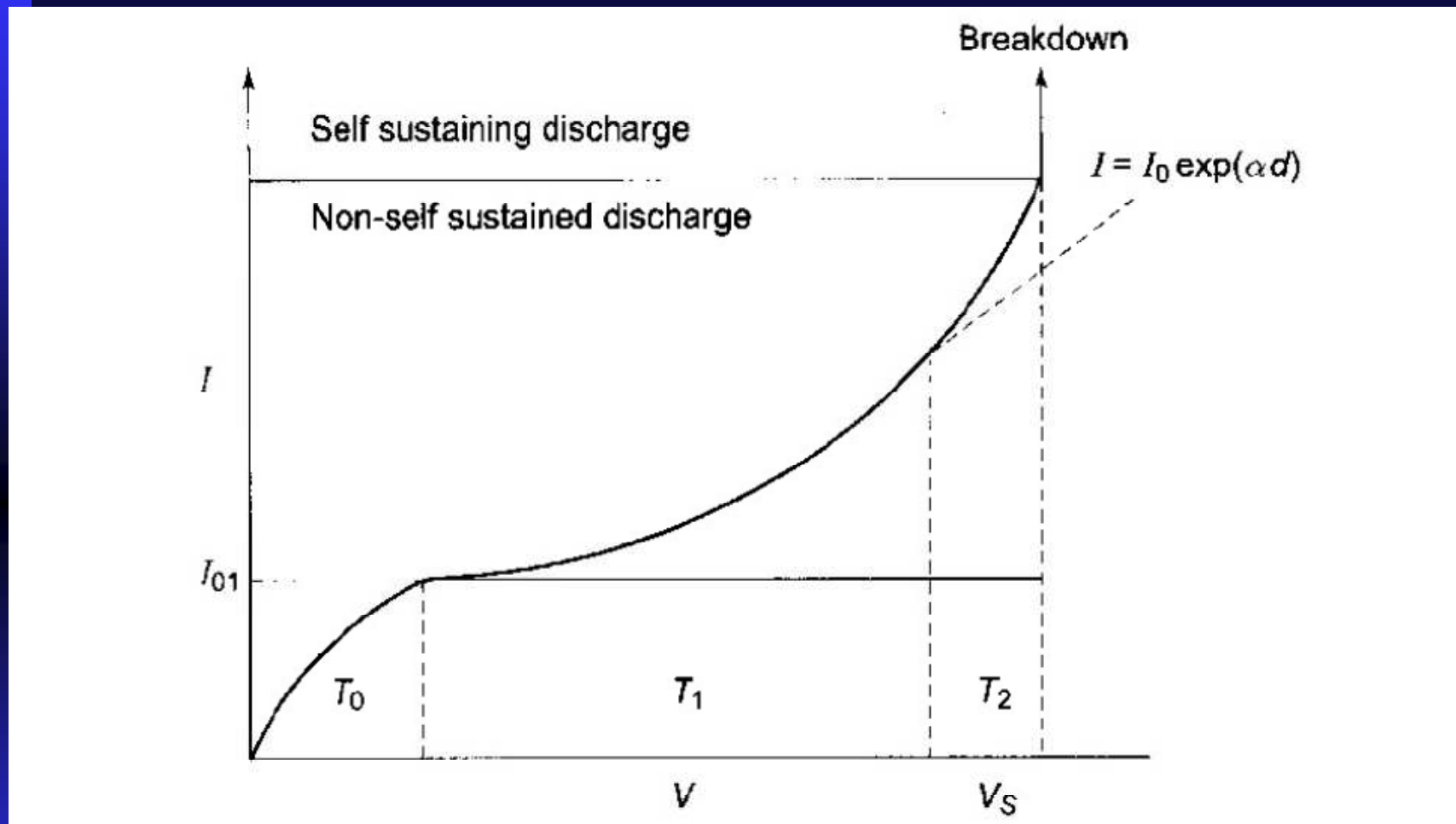
Pre hodnoty  $\alpha d \gg 1$  platí

$$I = \frac{I_0 e^{\alpha d}}{1 - \gamma (e^{\alpha d} - 1)} \approx I_0 e^{\alpha d}$$

takže

$$\begin{aligned}\ln I &= \alpha d + \ln I_0 \\ y &= mx + c\end{aligned}$$

Typický tvar prúdu :



Napred sa zmeria  $\alpha$  v oblasti  $T_1$  a potom sa dosadí do Townsendovho vztahu a v oblasti  $T_2$  sa zmeria  $\gamma$